

COMMITTENTE:



PROGETTAZIONE:



**DIRETTRICE FERROVIARIA MESSINA - CATANIA - PALERMO**

**NUOVO COLLEGAMENTO PALERMO - CATANIA**

**U.O. INFRASTRUTTURE CENTRO**

**PROGETTO DEFINITIVO**

**TRATTA DITTAINO - CATENANUOVA**

**OPERE CIVILI**

**CAVALCAFERROVIA**

CAVALCAFERROVIA SCATOLARE IV01

Relazione di calcolo sezione ad U

SCALA:

-

COMMESSA LOTTO FASE ENTE TIPO DOC. OPERA/DISCIPLINA PROGR. REV.

R S 3 E 5 0 D 2 9 C L I V 0 1 0 0 0 0 2 A

Rev.	Descrizione	Redatto	Data	Verificato	Data	Approvato	Data	Autorizzato Data
A	EMISSIONE ESECUTIVA	R. Michelangeli	Dicembre 2019	P. Di Nucci	Dicembre 2019	F.Sparacino	Dicembre 2019	F. Arduini Dicembre 2019

ITALFERR S.p.A.  
Direzione Tecnica  
Infrastrutture Centro  
Scheda: Fabrizio Arduini  
Ufficio di Impiegati della Provincia di Roma  
n. 15542/2019

## INDICE

1	PREMESSA .....	5
2	NORMATIVA DI RIFERIMENTO.....	7
3	MATERIALI.....	8
3.1	CALCESTRUZZO FONDAZIONE ED ELEVAZIONE.....	8
3.2	ACCIAIO B450C .....	9
3.3	VERIFICA S.L.E. ....	9
3.3.1	<i>Stato limite di limitazione delle tensioni</i> .....	9
3.3.1	<i>Stato limite di fessurazione</i> .....	10
4	INQUADRAMENTO GEOTECNICO .....	11
4.1	TERRENO DI RICOPRIMENTO/RINTERRO .....	11
4.3	INTERAZIONE TERRENO-STRUTTURA .....	11
5	CARATTERIZZAZIONE SISMICA.....	13
5.1	VITA NOMINALE E CLASSE D'USO .....	13
5.2	PARAMETRI DI PERICOLOSITÀ SISMICA .....	13
6	SOFTWARE DI CALCOLO .....	16
6.1	ORIGINE E CARATTERISTICHE DEI CODICI DI CALCOLO ADOTTATI .....	16
6.2	UNITÀ DI MISURA .....	16
6.3	GRADO DI AFFIDABILITÀ DEL CODICE.....	16
6.4	VALUTAZIONE DELLA CORRETTEZZA DEL MODELLO .....	16
6.5	CARATTERISTICHE DELL'ELABORAZIONE.....	17

6.6	GIUDIZIO FINALE SULLA ACCETTABILITÀ DEI CALCOLI.....	17
6.7	PROGRAMMI DI SERVIZIO.....	17
7	MURI AD U.....	18
7.1	GEOMETRIA.....	19
7.2	MODELLO DI CALCOLO.....	20
7.2.1	<i>Valutazione della rigidezza delle molle.....</i>	<i>21</i>
7.3	ANALISI DEI CARICHI.....	22
7.3.1	<i>Peso proprio della struttura e carichi permanenti portati.....</i>	<i>22</i>
7.3.2	<i>Spinta sulle pareti dovuta al terreno ed al sovraccarico permanente.....</i>	<i>22</i>
7.3.1	<i>Spinta in presenza di falda.....</i>	<i>23</i>
7.3.2	<i>Carichi variabili sulla platea di fondazione.....</i>	<i>24</i>
7.3.1	<i>Carichi variabili su piedritto.....</i>	<i>28</i>
7.4	AZIONE SISMICA INERZIALE.....	28
7.5	SPINTA SISMICA TERRENO.....	30
8	COMBINAZIONI DI CARICO.....	31
9	DIAGRAMMI DELLE SOLLECITAZIONI.....	35
10	VERIFICA DELLE SEZIONI IN C.A.....	39
10.1	VERIFICA SOLETTA INFERIORE.....	40
10.2	VERIFICA PIEDRITTI.....	44
10.2.1	<i>Tabella riepilogativa incidenza ferri.....</i>	<i>49</i>
11	VERIFICHE GEOTECNICHE.....	49



DIRETTRICE FERROVIARIA MESSINA - CATANIA - PALERMO  
NUOVO COLLEGAMENTO PALERMO - CATANIA  
PROGETTO DEFINITIVO – TRATTA DITTAINO - CATENANUOVA  
CAVALCAFERROVIA IV01 SEZIONE AD U

RELAZIONE DI CALCOLO

COMMESSA	LOTTO	CODIFICA	DOCUMENTO	REV.	FOGLIO
RS3E	50	D 29 CL	IV01 00 002	A	4 di 54

11.1 VALUTAZIONE DEI CEDIMENTI.....54

## 1 PREMESSA

La presente relazione ha per oggetto il dimensionamento e le verifiche di resistenza secondo il metodo semiprobabilistico agli Stati Limite (S.L.) delle sezioni ad U connesse alla realizzazione del cavalcaferrovia IV01 previsto nell'ambito del progetto definitivo lungo la direttrice ferroviaria Messina-Catania-Palermo del nuovo collegamento Palermo-Catania. Nello specifico, nel presente documento viene analizzata la sezione ad U facente parte del monolite costituente il cavalcaferrovia.

Le analisi strutturali e le verifiche di sicurezza sono state effettuate secondo il DM 14 gennaio 2008.

L'opera consiste in una sezione ad U in c.a. gettato in opera.

La sezione trasversale retta ha una larghezza interna di  $L_{int} = 9.80$  m ed un'altezza netta di  $H_{int} = 6.80$  m; lo spessore della platea di fondazione è di  $S_f = 1.10$  m, lo spessore dei piedritti è di  $S_p = 0.90$  m.

Nell'immagine seguente si riportano una sezione trasversale dell'opera.

Quanto riportato di seguito consentirà di verificare che il dimensionamento della struttura è stato effettuato nel rispetto dei requisiti di resistenza richiesti all'opera, *ed eseguito sulla sezione con altezza pari ai 2/3 dell'altezza massima del paramento.*

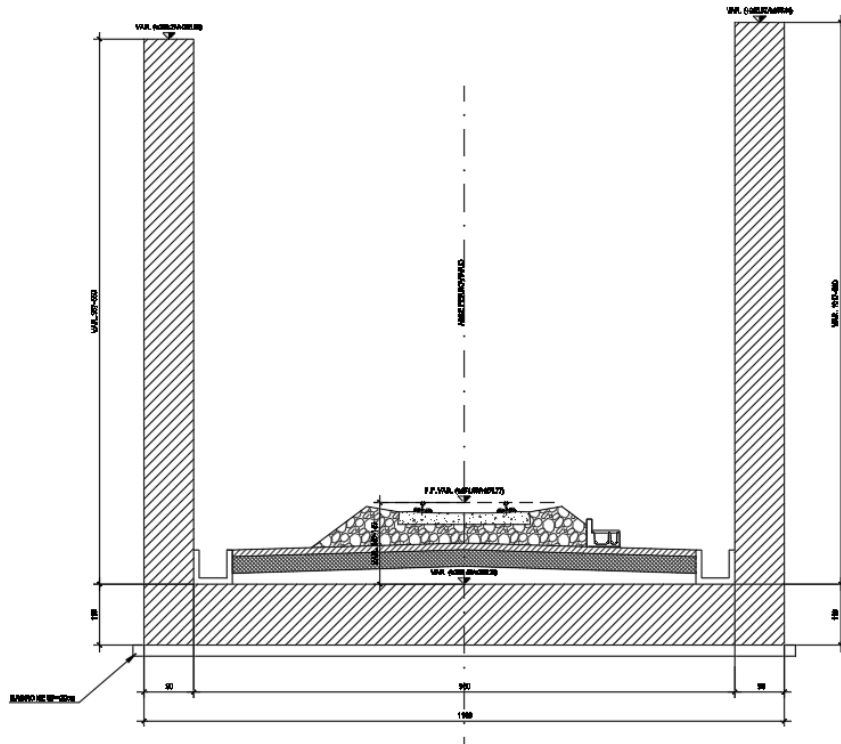


Fig. 1 – Sezione trasversale dell'opera

## 2 NORMATIVA DI RIFERIMENTO

La progettazione è conforme alle normative vigenti nonché alle istruzioni dell'Ente FF.SS.

La normativa cui viene fatto riferimento nelle fasi di calcolo e progettazione è la seguente:

- Norme Tecniche per le Costruzioni, DM del 14/01/2008;
- Legge 05/01/1971 n°1086: Norme per la disciplina delle opere di conglomerato cementizio armato, normale e precompresso, ed a struttura metallica;
- Legge 02/02/1974 n°64: Provvedimenti per le costruzioni con particolari prescrizioni per le zone sismiche;
- C.M. 02/02/2009 n.617: Istruzioni per l'applicazione delle "Norme tecniche per le costruzioni";
- RFI DTC SI PS MA IFS 001 A del 30/12/2016: Manuale di progettazione delle opere civili – Parte II – Sezione 2 – Ponti e Strutture;
- RFI DTC SI PS SP IFS 001 A del 30/12/2016: Capitolato generale tecnico di appalto delle opere civili – Parte II – Sezione 6 – Opere in conglomerato cementizio e in acciaio;
- UNI EN 1991-1-4:2005: Eurocodice 1 – Azioni sulle strutture – Parte 1-4: Azioni in generale – Azioni del vento;
- UNI EN 1992-1-1:2005: Eurocodice 2 – Progettazione delle strutture di calcestruzzo – Parte 1-1: Regole generali e regole per gli edifici;
- UNI EN 1992-2:2006: Eurocodice 2 – Progettazione delle strutture di calcestruzzo – Parte 2: Ponti;
- UNI EN 1993-1-1:2005: Eurocodice 3 – Progettazione delle strutture di acciaio – Parte 1-1: Regole generali e regole per gli edifici;
- UNI EN 1993-2:2007: Eurocodice 3 – Progettazione delle strutture di acciaio – Parte 2: Ponti;
- UNI EN 1998-1:2005: Eurocodice 8 – Progettazione delle strutture per la resistenza sismica – Parte 1: Regole generali, azioni sismiche e regole per gli edifici;
- UNI EN 1998-2:2006: Eurocodice 8 – Progettazione delle strutture per la resistenza sismica – Parte 2: Ponti;
- STI 2014 –Regolamento (UE) N. 1299/2014 della Commissione del 18 novembre 2014 relativo alle specifiche tecniche di interoperabilità per il sottosistema «infrastruttura» del sistema ferroviario dell'Unione europea, modificato dal Regolamento di esecuzione (UE) N° 2019/776 della Commissione del 16 maggio 2019;

### 3 MATERIALI

Il calcestruzzo adottato corrisponde alla Classe C30/37, mentre l'acciaio in barre ad aderenza migliorata corrisponde alla classe B450C. Di seguito vengono elencate le specifiche.

#### 3.1 Calcestruzzo fondazione ed elevazione

Classe d'esposizione: XC3

**C30/37:**  $f_{ck} \geq 30$  MPa  $R_{ck} \geq 37$  MPa

Classe minima di consistenza: S4

Copriferro: 40 mm

In accordo con le norme vigenti, risulta per il materiale in esame:

#### Classe di resistenza: Elevazione

	C30/37		
Resistenza a compressione cubica caratteristica	$R_{ck} =$	37	N/mm <sup>2</sup>
Resistenza a compressione cilindrica caratteristica	$f_{ck} =$	30.71	N/mm <sup>2</sup>
Resistenza a compressione cilindrica media	$f_{cm} =$	38.71	N/mm <sup>2</sup>
Resistenza a trazione semplice	$f_{ctm} =$	2.94	N/mm <sup>2</sup>
Resistenza a trazione per flessione	$f_{ctm} =$	3.53	N/mm <sup>2</sup>
Modulo elastico secante medio	$E_{cm} =$	33019	N/mm <sup>2</sup>
Resistenza caratteristica a trazione semplice (5%)	$f_{ctk} =$	2.06	N/mm <sup>2</sup>
Resistenza caratteristica a trazione semplice (95%)	$f_{ctk} =$	3.82	N/mm <sup>2</sup>
<i>Coefficiente di sicurezza SLU:</i>	$\gamma_c =$	1.5	
Resistenza di calcolo a compressione cilindrica SLU:	$f_{cd} =$	17.4	N/mm <sup>2</sup>
Resistenza di calcolo a trazione semplice (5%) - SLU:	$f_{ctd} =$	1.37	N/mm <sup>2</sup>
<i>Coefficiente di sicurezza SLE:</i>	$\gamma_c =$	1.0	
Resistenza di calcolo a compressione cilindrica SLE:	$f_{cd} =$	30.7	N/mm <sup>2</sup>
Resistenza di calcolo a trazione semplice (5%) - SLE:	$f_{ctd} =$	2.06	N/mm <sup>2</sup>
Massime tensioni di compressione in esercizio:			
Combinazione rara	$\sigma_{c,ad} =$	18.43	N/mm <sup>2</sup>
Combinazione quasi permanente	$\sigma_{c,ad} =$	13.82	N/mm <sup>2</sup>



### 3.2 Acciaio B450C

Tensione caratteristica di snervamento:  $f_{yk} = 450 \text{ MPa};$

Tensione di progetto:  $f_{yd} = f_{yk} / \gamma_m$

in cui  $\gamma_m = 1.15$   $f_{yd} = 450 / 1.15 = 391.3 \text{ MPa};$

Modulo Elastico  $E_s = 210'000 \text{ MPa}.$

### 3.3 Verifica S.L.E.

La verifica nei confronti degli Stati limite di esercizio, consiste nel controllare, con riferimento alle sollecitazioni di calcolo corrispondenti alle Combinazioni di Esercizio il tasso di Lavoro nei Materiali e l'ampiezza delle fessure attesa, secondo quanto di seguito specificato

#### 3.3.1 Stato limite di limitazione delle tensioni

La verifica delle tensioni in esercizio consiste nel controllare il rispetto dei limiti tensionali previsti per il calcestruzzo e per l'acciaio per ciascuna delle combinazioni di carico caratteristiche "Rara" e "Quasi Permanente"; i valori tensionali nei materiali sono valutati secondo le note teorie di analisi delle sezioni in c.a. in campo elastico e con calcestruzzo "non reagente a trazione" adottando come limiti di riferimento, trattandosi nel caso in specie di opere Ferroviarie, quelli indicati nel documento "Specifiche per la progettazione e l'esecuzione dei ponti ferroviari e di altre opere minori sotto binario RFI DTC INC PO SP IFS 001 A", ovvero:

#### Strutture in c.a.

##### Tensioni di compressione del calcestruzzo

Devono essere rispettati i seguenti limiti per le tensioni di compressione nel calcestruzzo:

- per combinazione di carico caratteristica (rara):  $0,55 f_{ck};$
- per combinazioni di carico quasi permanente:  $0,40 f_{ck};$
- per spessori minori di 5 cm, le tensioni normali limite di esercizio sono ridotte del 30%.

##### Tensioni di trazione nell'acciaio

Per le armature ordinarie, la massima tensione di trazione sotto la combinazione di carico caratteristica (rara) non deve superare  $0.75 f_{yk}.$

### 3.3.1 Stato limite di fessurazione

La verifica di fessurazione consiste nel controllare l'ampiezza dell'apertura delle fessure sotto combinazione di carico frequente e combinazione quasi permanente. Essendo la struttura a contatto col terreno si considerano condizioni ambientali aggressive; le armature di acciaio ordinario sono ritenute poco sensibili [NTC – Tabella 4.1.IV]

In relazione all'aggressività ambientale e alla sensibilità dell'acciaio, l'apertura limite delle fessure è riportato nel prospetto seguente:

**Tabella 1 – Criteri di scelta dello stato limite di fessurazione e Condizioni Ambientali**

Gruppi di esigenza	Condizioni ambientali	Combinazione di azione	Armatura			
			Sensibile		Poco sensibile	
			Stato limite	wd	Stato limite	wd
a	Ordinarie	frequente	ap. fessure	$\leq w_2$	ap. fessure	$\leq w_3$
		quasi permanente	ap. fessure	$\leq w_1$	ap. fessure	$\leq w_2$
b	Aggressive	frequente	ap. fessure	$\leq w_1$	ap. fessure	$\leq w_2$
		quasi permanente	decompressione	-	ap. fessure	$\leq w_1$
c	Molto Aggressive	frequente	formazione fessure	-	ap. fessure	$\leq w_1$
		quasi permanente	decompressione	-	ap. fessure	$\leq w_1$

**Tabella 4.1.III – Descrizione delle condizioni ambientali**

CONDIZIONI AMBIENTALI	CLASSE DI ESPOSIZIONE
Ordinarie	X0, XC1, XC2, XC3, XF1
Aggressive	XC4, XD1, XS1, XA1, XA2, XF2, XF3
Molto aggressive	XD2, XD3, XS2, XS3, XA3, XF4

Risultando:

$$w_1 = 0.2 \text{ mm}$$

$$w_2 = 0.3 \text{ mm}$$

$$w_3 = 0.4 \text{ mm}$$

Data la maggior restrittività, alle prescrizioni normative presenti in NTC si sostituiscono in tal caso quelle fornite dal "Manuale di Progettazione delle Opere Civili" secondo cui la verifica nei confronti dello stato limite di apertura delle fessure va effettuata utilizzando le sollecitazioni derivanti dalla combinazione caratteristica (rara).

Per strutture in condizioni ambientali aggressive o molto aggressive, qual è il caso delle strutture in esame così come identificate nel DM 14.1.2008, per tutte le strutture a permanente contatto con il terreno e per le zone non ispezionabili di tutte le strutture, l'apertura convenzionale delle fessure dovrà risultare:

– Combinazione Caratteristica (Rara)  $\delta_f \leq w_1 = 0.2 \text{ mm}$

Riguardo infine il valore di calcolo delle fessure da confrontare con i valori limite fissati dalla norma, si è utilizzata la procedura riportata al C4.1.2.2.4.5 della Circolare n. 617/09.

## 4 INQUADRAMENTO GEOTECNICO

### 4.1 Terreno di ricoprimento/rinterro

Per il terreno di ricoprimento dell'opera sono state assunte le seguenti caratteristiche geotecniche :

$\gamma = 20 \text{ kN/m}^3$	peso di volume naturale
$\varphi' = 35^\circ$	angolo di resistenza al taglio
$c' = 0 \text{ kPa}$	coesione drenata

### 4.2 Terreno di fondazione

Per i parametri geologico-geotecnici si fa riferimento ad:

Unità ba3 – Argille limose (Alluvioni attuali e recenti)

$\gamma = 19 \text{ kN/m}^3$	peso di volume naturale
$c' = 5 \text{ kPa}$	coesione drenata
$\Phi' = 25^\circ$	angolo di resistenza al taglio
$N_{spt} = 2 \div 30$	numero di colpi da prova SPT
$V_s = 70 \div 250 \text{ m/s}$	velocità delle onde di taglio
$G_o = 10 \div 120 \text{ MPa}$	modulo di deformazione a taglio iniziale
$E_o = 25 \div 320 \text{ MPa}$	modulo di deformazione elastico iniziale
$k = 10^{-8} \div 10^{-6} \text{ m/s}$	permeabilità

### 4.3 Interazione terreno-struttura

Di seguito sono trattati gli aspetti di natura geotecnica riguardanti l'interazione terreno-struttura relativamente all'opera in esame.

Per la determinazione della costante di sottofondo si può fare riferimento alle seguenti formulazioni assimilando il comportamento del terreno a quello di un mezzo elastico omogeneo:

- $s = B \cdot c_t \cdot (q - \sigma_{v0}) \cdot (1 - \nu^2) / E$

dove:

- $s$  = cedimento elastico totale;
- $B$  = lato minore della fondazione;
- $c_t$  = coefficiente adimensionale di forma ottenuto dalla interpolazione dei valori dei coefficienti proposti dal Bowles, 1960 ( $L$  = lato maggiore della fondazione):

$$c_t = 0.853 + 0.534 \ln(L / B) \quad \text{rettangolare con } L / B \leq 10$$

$$c_t = 2 + 0.0089 (L / B) \quad \text{rettangolare con } L / B > 10$$

- $q$  = pressione media agente sul terreno;
- $\sigma_{v0}$  = tensione litostatica verticale alla quota di posa della fondazione;
- $\nu$  = coefficiente di Poisson del terreno;
- $E$  = modulo elastico medio del terreno sottostante.

Il valore della costante di sottofondo  $k_w$  è valutato attraverso il rapporto tra il carico applicato ed il corrispondente cedimento pertanto, si ottiene:

- $k_w = E / [(1-\nu^2) \cdot B \cdot c_t]$

Di seguito si riportano in forma tabellare i risultati delle valutazioni effettuate per il caso in esame, avendo considerato per  $E$  un valore medio di quello indicato per l'Unità Geotecnica in esame ed una dimensione longitudinale della fondazione ritenuta potenzialmente collaborante nella diffusione dei carichi pari a 15.0 m:

$E =$	22000	$\text{kN/m}^2$
$\nu =$	0.3	
$B =$	11.6	m
$L =$	8.0	m
$L/B =$	0.69	
$c_t =$	0.65	
$K_w =$	3184	$\text{kN/m}^3$

Cautelativamente si limita, ai fini del calcolo, il valore della costante di sottofondo a circa 3000  $\text{kN/m}^3$ .

## 5 CARATTERIZZAZIONE SISMICA

Nel seguente paragrafo è riportata la valutazione dei parametri di pericolosità sismica utili alla determinazione delle azioni sismiche di progetto dell'opera cui si riferisce il presente documento, in accordo a quanto specificato a riguardo dal D.M. 14 gennaio 2008 e relativa circolare applicativa.

### 5.1 Vita nominale e classe d'uso

Per la valutazione dei parametri di pericolosità sismica è necessario definire, oltre alla localizzazione geografica del sito, la Vita nominale dell'opera strutturale ( $V_N$ ), intesa come il numero di anni nel quale la struttura, purché soggetta alla manutenzione ordinaria, deve potere essere usata per lo scopo al quale è destinata, e la Classe d'Uso a cui è associato un coefficiente d'uso ( $C_U$ )

Per l'opera in oggetto si considera una vita nominale:  $V_N = 75$  anni (categoria 2: "Altre opere nuove a velocità  $V < 250$  Km/h"). Riguardo invece la Classe d'Uso, all'opera in oggetto corrisponde una Classe III a cui è associato un coefficiente d'uso pari a (NTC – Tabella 2.4.II):  $C_U = 1.5$ .

I parametri di pericolosità sismica vengono quindi valutati in relazione ad un periodo di riferimento  $V_R$  che si ricava per ciascun tipo di costruzione, moltiplicando la vita nominale  $V_N$  per il coefficiente d'uso  $C_U$ , ovvero:

$$V_R = V_N \cdot C_U$$

Pertanto, per l'opera in oggetto, il periodo di riferimento è pari a  $V_R = 75 \times 1.5 = \mathbf{112.5}$  anni

Il calcolo viene eseguito con il metodo pseudostatico. In queste condizioni l'azione sismica è rappresentata da una forza statica equivalente pari al prodotto delle forze di gravità per un opportuno coefficiente sismico.

### 5.2 Parametri di pericolosità sismica

La valutazione dei parametri di pericolosità sismica, che ai sensi del D.M. 14-01-2008, costituiscono il dato base per la determinazione delle azioni sismiche di progetto su una costruzione (forme spettrali e/o forze inerziali) dipendono, come già in parte anticipato in precedenza, dalla localizzazione geografica del sito, dalle caratteristiche della costruzione (Periodo di riferimento per valutazione azione sismica /  $V_R$ ) oltre che dallo Stato Limite di riferimento/Periodo di ritorno dell'azione sismica.

- Categoria sottosuolo C

In accordo a quanto riportato in Allegato A delle Norme Tecniche per le costruzioni DM 14.01.08, si ottiene per il sito in esame:

La pericolosità sismica di base è stata definita sulla base delle coordinate geografiche del sito di realizzazione dell'opera:

### FASE 1. INDIVIDUAZIONE DELLA PERICOLOSITÀ DEL SITO

Ricerca per coordinate

LONGITUDINE:  LATITUDINE:

Ricerca per comune

REGIONE:  PROVINCIA:  COMUNE:

**Elaborazioni grafiche**

- Grafici spettri di risposta
- Variabilità dei parametri

**Elaborazioni numeriche**

- Tabella parametri

Controlli sul reticolo

- Sito esterno al reticolo
- Interpolazione su 3 nodi
- Interpolazione corretta

Interpolazione:

**Reticolo di riferimento**



La "Ricerca per comune" utilizza le coordinate ISTAT del comune per identificare il sito. Si sottolinea che all'interno del territorio comunale le azioni sismiche possono essere significativamente diverse da quelle così individuate e si consiglia, quindi, la "Ricerca per coordinate".

**Nodi del reticolo intorno al sito**



INTRO **FASE 1** FASE 2 FASE 3

I parametri utilizzati per la definizione dell'azione sismica sono riportati di seguito.

### FASE 2. SCELTA DELLA STRATEGIA DI PROGETTAZIONE

Vita nominale della costruzione (in anni) -  $V_N$   info

Coefficiente d'uso della costruzione -  $c_U$   info

**Valori di progetto**

Periodo di riferimento per la costruzione (in anni) -  $V_R$   info

Periodi di ritorno per la definizione dell'azione sismica (in anni) -  $T_R$  info

Stati limite di esercizio - SLE

SLO - $P_{VR} = 81\%$	<input type="text" value="68"/>
SLD - $P_{VR} = 63\%$	<input type="text" value="113"/>

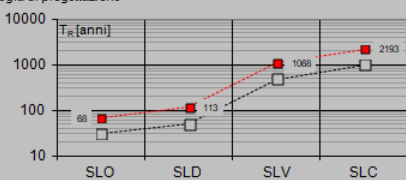
Stati limite ultimi - SLU

SLV - $P_{VR} = 10\%$	<input type="text" value="1068"/>
SLC - $P_{VR} = 5\%$	<input type="text" value="2193"/>

**Elaborazioni**

- Grafici parametri azione
- Grafici spettri di risposta
- Tabella parametrizzazione

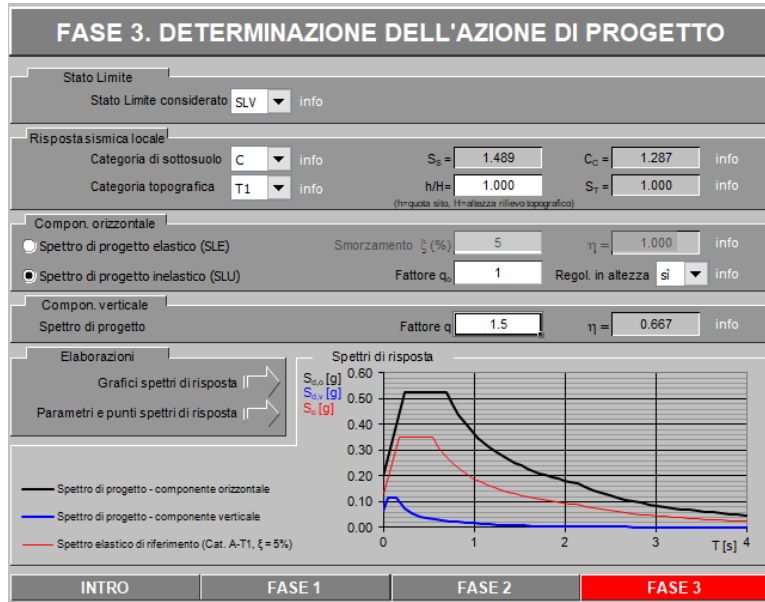
**Strategia di progettazione**



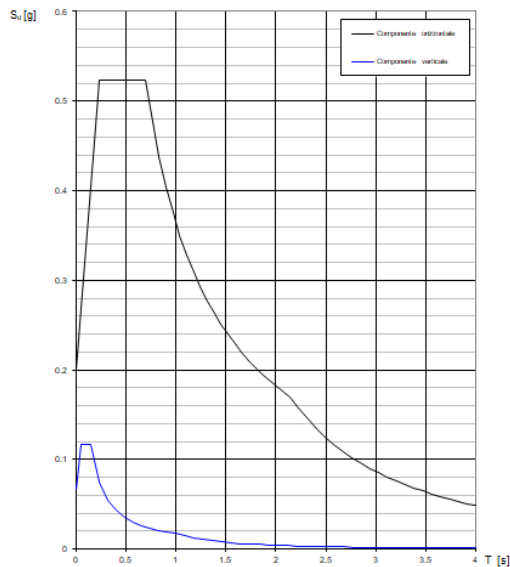
**LEGENDA GRAFICO**

- Strategia per costruzioni ordinarie
- Strategia scelta

INTRO FASE 1 **FASE 2** FASE 3



Spettri di risposta (componenti orizz. e vert.) per lo stato lim SLV



**Parametri indipendenti**

STATO LIMITE	SLV
$a_n$	0.135 g
$F_n$	2.612
$T_c^*$	0.540 s
$S_S$	1.489
$C_C$	1.287
$S_T$	1.000
$q$	1.000

**Parametri dipendenti**

$S$	1.489
$\eta$	1.000
$T_B$	0.232 s
$T_C$	0.695 s
$T_D$	2.139 s

## 6 SOFTWARE DI CALCOLO

### 6.1 Origine e caratteristiche dei codici di calcolo adottati

Per le analisi delle strutture è stato utilizzato il Sap 2000 v.14.1 prodotto, distribuito ed assistito da Computers and Structures, Inc.1995 University Ave. Berkeley. Questa procedura è sviluppata in ambiente Windows, permette l'analisi elastica lineare e non di strutture tridimensionali con nodi a sei gradi di libertà utilizzando un solutore ad elementi finiti. Gli elementi considerati sono frame (trave), con eventuali svincoli interni o rotazione attorno al proprio asse. I carichi sono applicati sia ai nodi, come forze o coppie concentrate, sia sulle travi, come forze distribuite, trapezie, concentrate, come coppie e come distorsioni termiche. A supporto del programma è fornito un ampio manuale d'uso contenente fra l'altro una vasta serie di test di validazione sia su esempi classici di Scienza delle Costruzioni, sia su strutture particolarmente impegnative e reperibili nella bibliografia specializzata.

Tale programma fornisce in output, oltre a tutte le caratteristiche geometriche e di carico delle strutture, i risultati relativi alle sollecitazioni indotte nelle sezioni degli elementi presenti.

### 6.2 Unità di misura

Le unità di misura adottate sono le seguenti:

- lunghezze: m
- forze: kN
- masse: kN massa
- temperature: gradi centigradi
- angoli: gradi sessadecimali o radianti
- si assume l'uguaglianza  $1 \text{ kN} = 100 \text{ kg}$

### 6.3 Grado di affidabilità del codice

L'affidabilità del codice di calcolo e' garantita dall'esistenza di un ampia documentazione di supporto. E' possibile inoltre ottenere rappresentazioni grafiche di deformate e sollecitazioni della struttura.

### 6.4 Valutazione della correttezza del modello

Il modello di calcolo adottato e' da ritenersi appropriato in quanto non sono state riscontrate labilità, le reazioni vincolari equilibrano i carichi applicati, la simmetria di carichi e struttura dà origine a sollecitazioni simmetriche.



## 6.5 Caratteristiche dell'elaborazione

Tutte le analisi strutturali sono state eseguite su di una workstation dedicata avente le seguenti

caratteristiche tecniche:

- Tipo Intel i7
- Memoria centrale 8 Gb;
- Lunghezza in bit della parola 64 bit;
- Memoria di massa 1 Hard disk da 500 Gb.

## 6.6 Giudizio finale sulla accettabilità dei calcoli

Si ritiene che i risultati ottenuti dalla elaborazione siano accettabili e che le ipotesi poste alla base della formulazione del modello matematico siano valide come dimostrato dal comportamento dei materiali.

All'interno del pacchetto Sap 2000 sono inoltre presente una serie di test per il benchmark del solutore, che consentono di comprovare l'affidabilità del codice di calcolo e paragonare risultati ottenuti con le soluzioni esatte.

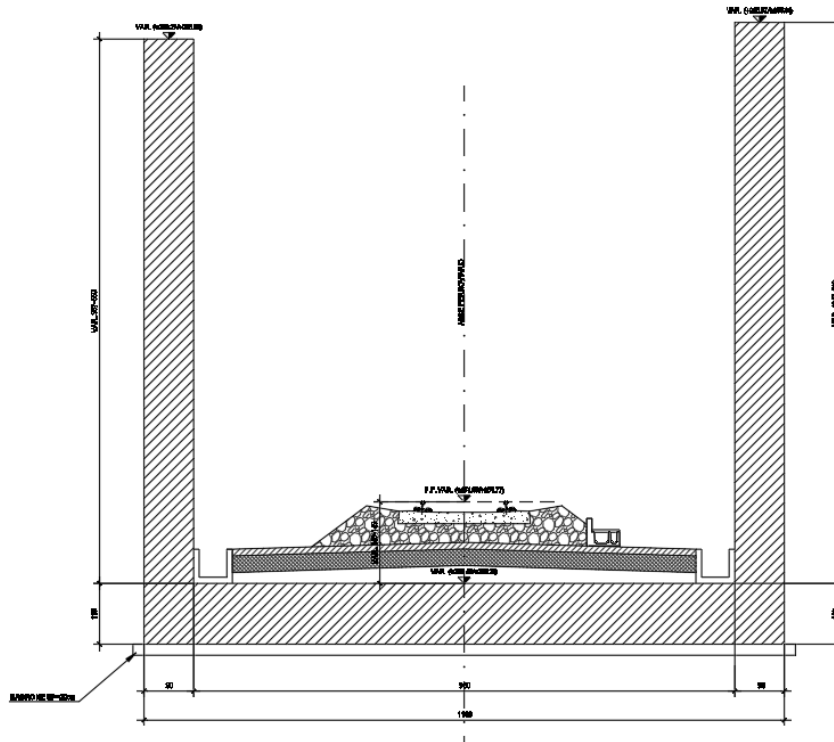
## 6.7 Programmi di servizio

Per le verifiche delle sezioni si adotta il programma: "RC-SEC" – Autore GEOSTRU Software. ANALISI DEI CARICHI E FASI

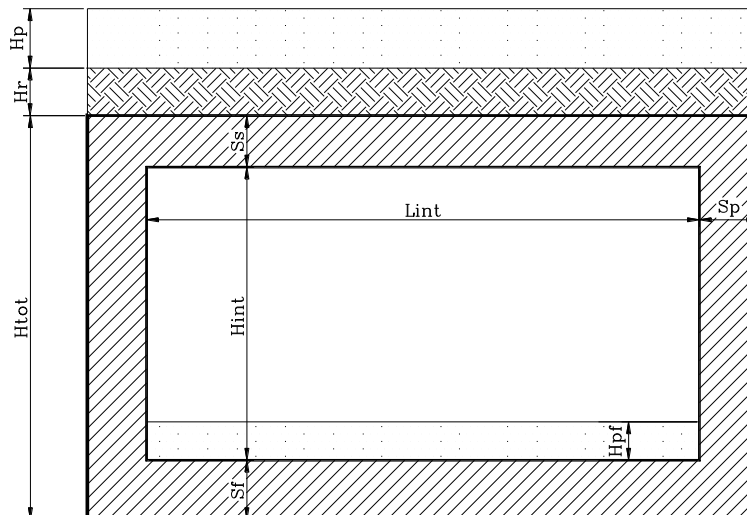
## 7 MURI AD U

La dimensione interna è di 9.80 m e l'altezza interna pari a 6.80m, piedritti di spessore 0.90m e soletta inferiore di spessore 1.10m.

Nel seguito verrà esaminata una striscia avente lunghezza di 1.00 m. In figura si riporta schematicamente la geometria dell'opera.



## 7.1 Geometria



### DATI GEOMETRICI

Grandezza	Simbolo	Valore	U.M.
larghezza totale scatolare	$L_{tot}$	11.60	m
larghezza utile scatolare	$L_{int}$	9.80	m
larghezza interasse	$L_a$	10.70	m
spessore soletta superiore	$S_s$	0.00	m
spessore piedritti	$S_p$	0.90	m
spessore fondazione	$S_f$	1.10	m
altezza totale scatolare	$H_{tot}$	7.90	m
altezza libera scatolare	$H_{int}$	6.80	m
spessore ricoprimento superiore	$H_{p_{sup}}$	0.00	m
			m
spessore ricoprimento interno uniforme	$H_{R_{inf}}$	1.05	m

## 7.2 Modello di calcolo

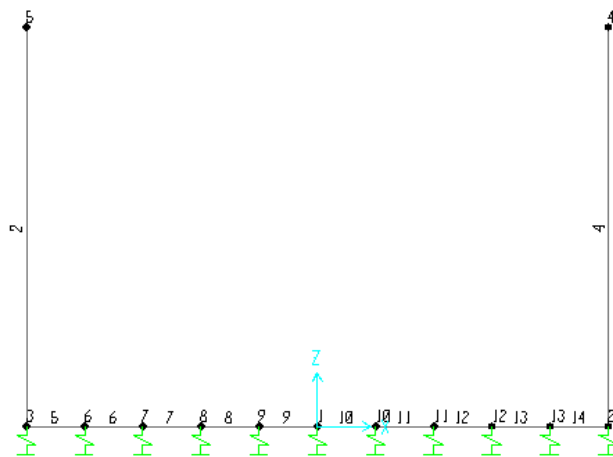
Il modello di calcolo attraverso il quale è schematizzata la struttura è quello del telaio chiuso su letto di molle alla Winkler.

Il modello di calcolo attraverso il quale è schematizzata la struttura è quello del telaio aperto su letto di molle alla Winkler.

Il modello considerato per l'analisi è quello di una sezione di profondità unitaria (1.00m) soggetto alle azioni da traffico di norma e quelle permanenti. In corrispondenza dei vertici sono state inserite delle zone rigide pari a metà spessore degli elementi.

Il terreno di fondazione è stato modellato utilizzando la schematizzazione alla Winkler con un opportuno coefficiente di sottofondo.

Di seguito si riporta lo schema di calcolo.



*Numerazione aste e nodi*

RELAZIONE DI CALCOLO

COMMESSA	LOTTO	CODIFICA	DOCUMENTO	REV.	FOGLIO
RS3E	50	D 29 CL	IV01 00 002	A	21 di 54

### 7.2.1 Valutazione della rigidità delle molle

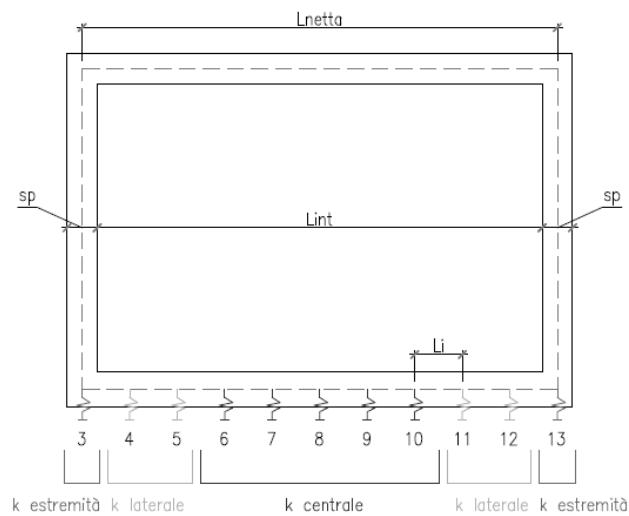
Si considera la struttura appoggiato su di un letto di molle (schematizzazione alla Winkler) assegnando alle aste di fondazione del modello un valore di “linear spring” pari a  $K= 3000 \text{ kN/mc}$  in funzione dell’interasse delle molle secondo la seguente formulazione:

Interasse molle  $i = (S_p/2 + L_{int} + S_p/2)/10$  [m]

Molle centrali  $k_1 = k * i$  [kN/m]

Molle intermedie  $k_2 = 1.5 * k * i$  [kN/m]

Molle laterali  $k_3 = 2 * k *(i/2+ S_p/2)$  [kN/m]



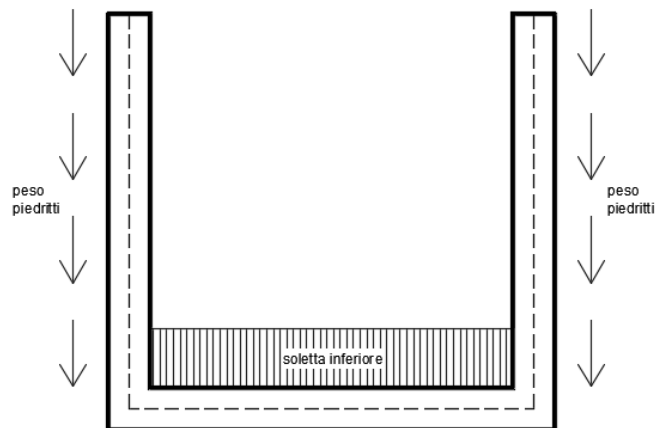
### 7.3 Analisi dei carichi

#### 7.3.1 Peso proprio della struttura e carichi permanenti portati

<u>Soletta inferiore</u>	- Peso proprio	27.50 kN/m
	<b>- Totale</b>	<b>27.50 kN/m</b>

	- Peso pacchetto interno 0 cm	0.00 kN/m
	- Peso ricoprimento interno uniforme	25.20 kN/m
	<b>- Totale</b>	<b>25.20 kN/m</b>

<u>Piedritti</u>	- Peso proprio	22.50 kN/m
	<b>- Totale</b>	<b>22.50 kN/m</b>

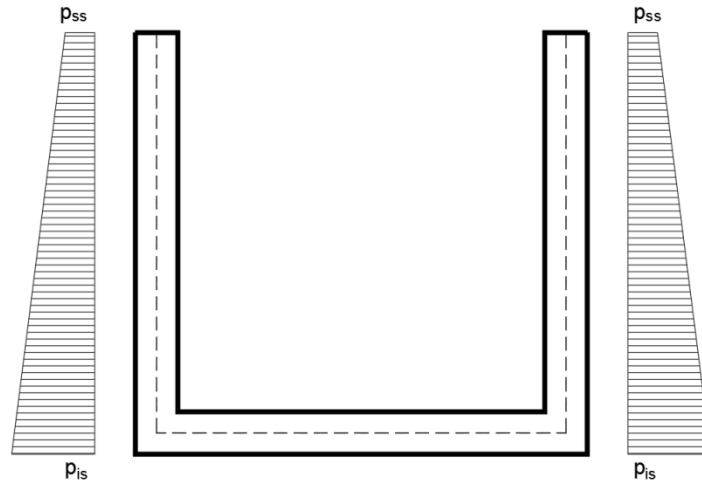


#### 7.3.2 Spinta sulle pareti dovuta al terreno ed al sovraccarico permanente

Per il rinterro si prevede un terreno avente angolo di attrito  $\varphi = 35^\circ$  ed un peso di volume  $\gamma = 20 \text{ kN/m}^3$ , il coefficiente di spinta viene calcolato, considerando l'elevata rigidezza dell'opera, utilizzando la formula  $K_0=1-\sin\varphi'$ , per cui si ottiene un valore di  $K_0=0.43$ . Le spinte in asse soletta superiore ed asse soletta inferiore valgono:

$$p_{ss} = K_0 * (H_r + H_{psup} + S_s/2) * \gamma = 0.0 \text{ kN/m}$$

$$p_{is} = p_{ss} + K_0 * \gamma * (S_s/2 + H_{int} + S_f/2) = 62.7 \text{ kN/m}$$



Per tenere in conto dei carichi agenti sul semispessore degli elementi considerati nel modello di calcolo, si applicano delle forze concentrate nei nodi tra piedritto e soletta inferiore con valore pari a 35.77 kN.

### 7.3.1 Spinta in presenza di falda

Nel caso in cui a monte della parete sia presente la falda il diagramma delle pressioni sulla parete risulta modificato a causa della sottospinta che l'acqua esercita sul terreno. Il peso di volume del terreno al di sopra della linea di falda non subisce variazioni. Viceversa al di sotto del livello di falda va considerato il peso di volume di galleggiamento

$$\gamma_a = \gamma_{\text{sat}} - \gamma_w$$

dove  $\gamma_{\text{sat}}$  è il peso di volume saturo del terreno (dipendente dall'indice dei pori) e  $\gamma_w$  è il peso di volume dell'acqua. Quindi il diagramma delle pressioni al di sotto della linea di falda ha una pendenza minore. Al diagramma così ottenuto va sommato il diagramma triangolare legato alla pressione idrostatica esercitata dall'acqua.

$$u = \gamma_w \cdot z$$

L'opera non risulta interessata dalla falda.

### 7.3.2 Carichi variabili sulla platea di fondazione

#### 7.3.2.1 Treno di carico LM71

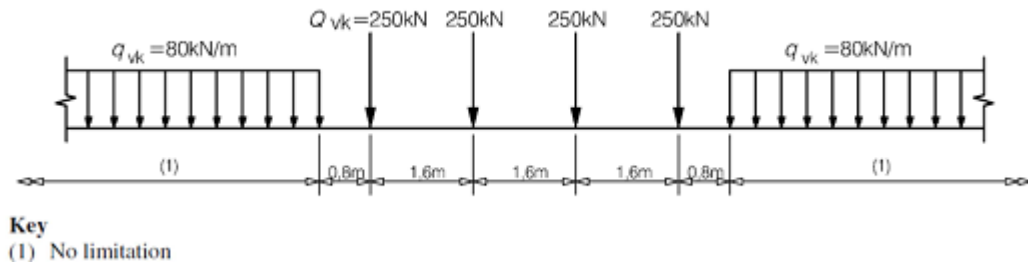


Fig. 2 –Load model 71 (al punto 6.3.2. della norma EN 1991-2:2003)

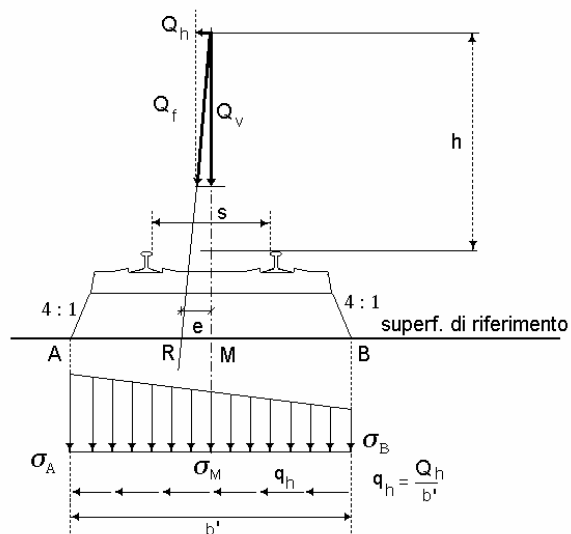
$\alpha$  = coefficiente di adattamento = 1.10

Per il calcolo del coefficiente dinamico  $\Phi$  si fa riferimento al “Manuale di Progettazione delle Opere Civili”  
Considerando un ridotto standard manutentivo si ha:

$$L_{\Phi} = 1.3 * [(1/3) * (2 * H_{tot} + L_{tot})] = 11.87 \text{ m}$$

$$\Phi_3 = [2.16 / (L_{\Phi}^{0.5} - 0.2)] + 0.73 = 1.40$$

Il sovraccarico ferroviario si distribuisce attraverso il ricoprimento con la pendenza di 1/4 e con la pendenza a 45° all'interno del cls per cui la lunghezza di diffusione del carico in senso trasversale all'asse binario risulta pari a:





$$L_{\text{trasv}} = 2.4 + [H_{\text{Rinf}}/4 + S_f/2] * 2 = 4.03 \text{ m}$$

$$L_{\text{long}} = 1.60 * 3 + [H_{\text{Rinf}}/4 + S_s/2] * 2 = 6.40 \text{ m}$$

In senso longitudinale si è assunto che il carico si distribuisce sull'intero ingombro dei suoi assi, pari a  $L_{\text{long}} = 6.40\text{m}$ .

Pertanto il carico ripartito dovuto al singolo treno LM 71 risulta:

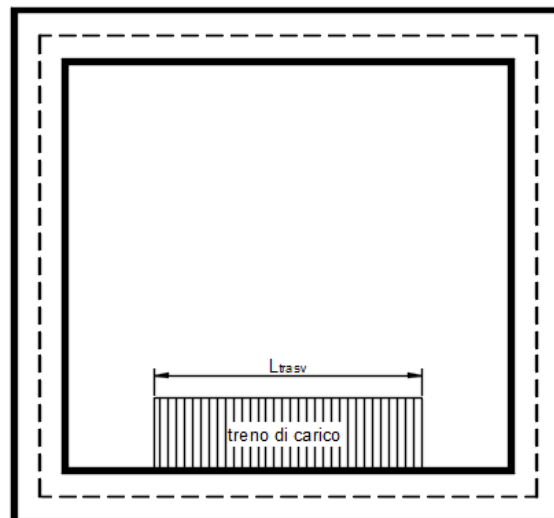
Carico ripartito prodotto dalle forze concentrate

$$= 4 * 250 * 1.1 * \Phi_3 / (L_{\text{trasv}} * L_{\text{long}}) = 59.59 \text{ kN/m}^2$$

Carico ripartito prodotto dal carico distribuito (80 kN/m)

$$= 80 * 1.1 * \Phi_3 / L_{\text{trasv}} = 30.51 \text{ kN/m}^2$$

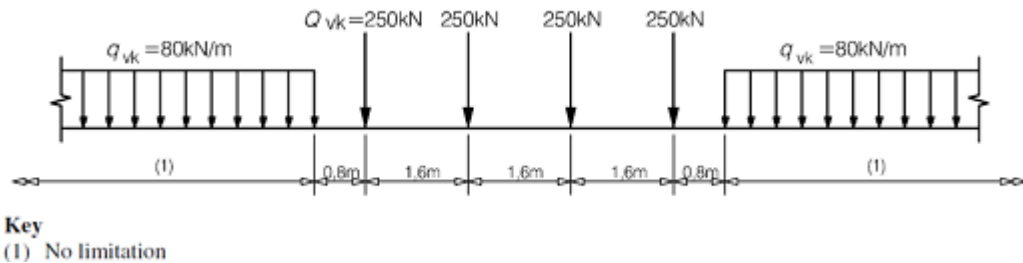
Le distribuzioni del sovraccarico ferroviario considerate al di sopra della copertura, sono quelle in grado di massimizzare le sollecitazioni flettenti e taglianti.



Di seguito, si effettua la valutazione del carico equivalente previsto dalle Specifiche Tecniche di Interoperabilità con cui si dà evidenza che le opere appartenenti alla tratta in esame sono idonee a sostenere tale carico.

### 7.3.2.2 Verifica requisiti S.T.I. per opere minori sottobinario: Carico equivalente

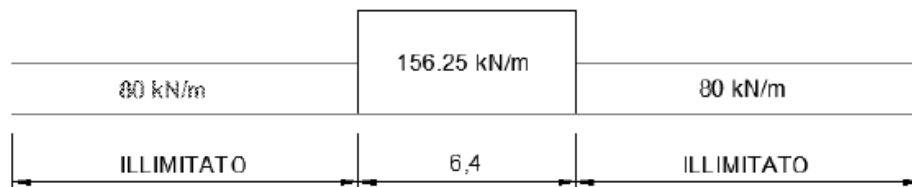
Il modello di carico LM71 citato dalle S.T.I. è definito nella norma EN 1991-2:2003/AC:2010.



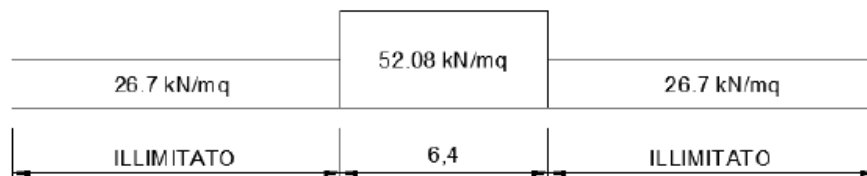
Il carico equivalente si ricava dalla ripartizione trasversale e longitudinale dei carichi per effetto delle traverse e del ballast previsti dalla stessa norma EN 1991-2:2003/AC:2010.

Considerando i 4 carichi assiali da 250 kN e la relativa distribuzione longitudinale, il carico verticale equivalente a metro lineare agente alla quota della piattaforma ferroviaria (convenzionalmente a 70 cm dal piano del ferro) risulta pari a:

$$p = \frac{4 \times 250}{4 \times 1.60} = 156.25 \text{ kPa}$$



Considerando la distribuzione trasversale dei carichi su una larghezza di 3.0 m secondo quanto previsto da EN 1991 – 2:2003/AC:2010, si ricava il carico equivalente unitario agente alla quota della piattaforma ferroviaria:



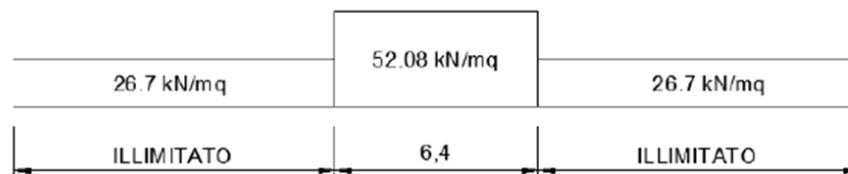
A tali carichi si deve applicare il coefficiente  $\alpha$  relativo alle categorie S.T.I. come indicato nella tabella 11 di seguito riportata:

Tabella 11

Fattore alfa ( $\alpha$ ) per la progettazione di strutture nuove

Tipo di traffico	Valore minimo del fattore alfa ( $\alpha$ )
P1, P2, P3, P4	1,0
P5	0,91
P6	0,83
P1520	Punto in sospeso
P1600	1,1
F1, F2, F3	1,0
F4	0,91
F1520	Punto in sospeso
F1600	1,1

Nel caso in esame, il coefficiente  $\alpha$  è pari ad 1.0 perché le categorie di traffico sono P2-P4 per il traffico passeggeri ed F1 per il traffico merci per cui, alle opere si applicano i seguenti carichi equivalenti:



Il carico diffuso sino all'asse della soletta risulta pari ad 27.2kN/m.

**Ai fini delle verifiche del carico equivalente si considera, in tutte le relazioni di calcolo specifiche, a favore di sicurezza, il carico equivalente ai 4 assi da 250 kN pari a 59.59kN/m2 a vantaggio di sicurezza rispetto ai 27.2kN/m2 calcolati con riferimento alle STI.**

### 7.3.1 Carichi variabili su piedritto

A favore di sicurezza si prevede una carico accidentale  $q=10\text{kN/m}^2$  agente sul rilevato; si applicherà pertanto una spinta orizzontale uniforme sul piedritto pari ad  $q=10 \cdot K_0 = 10 \cdot 0.43 = 4.3 \text{ kN/m}^2$ .

Per tenere in conto dei carichi agenti sul semispessore degli elementi considerati nel modello di calcolo, si applicano delle forze concentrate nei nodi tra piedritto e soletta inferiore con valore pari a 1.72 kN.

## 7.4 Azione sismica inerziale

Per il calcolo dell'azione sismica si utilizza il metodo dell' analisi pseudostatica in cui l'azione sismica è rappresentata da una forza statica equivalente pari al prodotto delle forze di gravità per un opportuno coefficiente sismico  $k$ . Le forze sismiche sono pertanto le seguenti:

Forza sismica orizzontale  $F_h = k_h \cdot W$

Forza sismica verticale  $F_v = k_v \cdot W$

I valori dei coefficienti sismici orizzontale  $k_h$  e verticale  $k_v$  possono essere valutati mediante le espressioni:  $k_h = a_{\text{max}}/g$

$$k_v = \pm 0.5 \cdot k_h$$

Con riferimento alla nuova classificazione sismica del territorio nazionale ai fini del calcolo dell'azione sismica secondo il DM 14/01/2008 viene assegnata all'opera una vita nominale  $V_N \geq 75$  anni ed una III classe d'uso  $C_u = 1.5$ ; segue un periodo di riferimento  $V_R = V_N \cdot C_u = 113$  anni

A seguito di tale assunzione si ottiene allo stato limite ultimo SLV in funzione della Latitudine e Longitudine del sito in esame un valore dell'accelerazione pari a  $a_g = 0.135 \text{ g}$ .

In assenza di analisi specifiche della risposta sismica locale l'accelerazione massima può essere valutata con la relazione:

RELAZIONE DI CALCOLO

COMMESSA	LOTTO	CODIFICA	DOCUMENTO	REV.	FOGLIO
RS3E	50	D 29 CL	IV01 00 002	A	29 di 54

$$a_{\max} = S * a = S_s * S_t * a_g$$

in base al fattore di amplificazione del sito  $F_0$  si ottiene:

$$S_s = 1.489 \quad \text{Coefficiente di amplificazione stratigrafica}$$

$$S_T = 1 \quad \text{Coefficiente di amplificazione topografica}$$

ne deriva che:

$$a_{\max} = 1.489 * 1 * 0.135 \text{ g} = 0.201 \text{ g}$$

$$k_h = a_{\max} / g = 0.201$$

$$k_v = \pm 0.5 * k_h = 0.101$$

#### Sisma orizzontale

$$F_{\text{sis}} = a_{\max} * \gamma * H_{\text{tot}} = 31.76 \text{ kN/m} \quad (\text{carico applicato sulla parete})$$

$$F_{\text{inp}} = \alpha * S_p * \gamma * 1\text{m} = 4.52 \text{ kN/m} \quad (\text{inerzia piedritti})$$

$$\text{Totale} = 36.28 \text{ kN/m} \quad (\text{piedritto sx})$$

$$\text{Totale} = 4.52 \text{ kN/m} \quad (\text{piedritto dx})$$

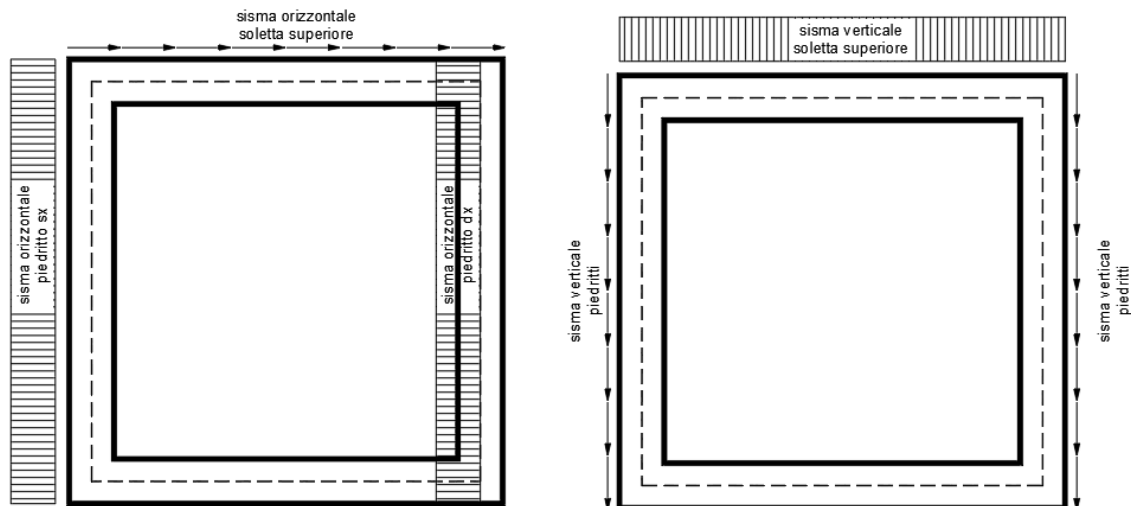
Per tenere in conto dei carichi agenti sul semispessore degli elementi considerati nel modello di calcolo, si applicano delle forze concentrate nei nodi tra piedritto sinistro e soletta inferiore con valore pari a 19.96 kN. Si applicano delle forze concentrate nei nodi tra piedritto destro e soletta inferiore con valore pari a 2.49 kN.

#### Sisma verticale

$$F_{\text{inp}} = 0.5 * \alpha * S_p * \gamma * 1\text{m} = 2.26 \text{ kN/m} \quad (\text{inerzia piedritti})$$

Gli effetti dell'azione sismica saranno valutati tenendo conto delle masse associate ai seguenti carichi gravitazionali:  $G_1 + G_2 + \psi_{2j} Q_{kj}$

Dove nel caso specifico si assumerà per i carichi dovuti al transito dei convogli ferroviari  $\psi_{2j} = 0.2$ .



### 7.5 Spinta sismica terreno

Le spinte delle terre potranno essere determinate secondo la teoria di Wood, secondo la quale la risultante dell'incremento di spinta per effetto del sisma su una parete di altezza H viene determinato con la seguente espressione:

$$\Delta S_E = (a_{\max}/g) * \gamma * H_{\text{tot}}^2 = 250.91 \text{ kN/m}$$

Tale risultante applicata ad un'altezza pari ad  $H_{\text{tot}}/2$ .sarà considerata agente su uno solo dei piedritti dell'opera.

Nel modello di calcolo viene applicato il valore della forza sismica per unità di superficie agente su un piedritto pari a  $31.76 \text{ kN/m}^2$

## 8 COMBINAZIONI DI CARICO

Ai fini delle verifiche degli stati limite si è fatto riferimento alle seguenti combinazioni delle azioni.

Combinazione fondamentale, generalmente impiegata per gli stati limite ultimi (SLU):

$$\gamma_{G1} \cdot G_1 + \gamma_{G2} \cdot G_2 + \gamma_P \cdot P + \gamma_{Q1} \cdot Q_{k1} + \gamma_{Q2} \cdot \psi_{02} \cdot Q_{k2} + \gamma_{Q3} \cdot \psi_{03} \cdot Q_{k3} + \dots$$

Combinazione caratteristica (rara), generalmente impiegata per gli stati limite di esercizio (SLE) irreversibili:

$$G_1 + G_2 + P + Q_{k1} + \psi_{02} \cdot Q_{k2} + \psi_{03} \cdot Q_{k3} + \dots$$

Combinazione frequente, generalmente impiegata per gli stati limite di esercizio (SLE) reversibili, utilizzata nella verifica a Fessurazione:

$$G_1 + G_2 + P + \psi_{11} \cdot Q_{k1} + \psi_{22} \cdot Q_{k2} + \psi_{23} \cdot Q_{k3} + \dots$$

Combinazione quasi permanente, generalmente impiegata per gli stati limite di esercizio (SLE) a lungo termine;

$$G_1 + G_2 + P + \psi_{21} \cdot Q_{k1} + \psi_{22} \cdot Q_{k2} + \psi_{23} \cdot Q_{k3} + \dots$$

Combinazione sismica, impiegata per gli stati limite ultimi e di esercizio connessi all'azione sismica E:

$$E + G_1 + G_2 + P + \psi_{21} \cdot Q_{k1} + \psi_{22} \cdot Q_{k2} + \dots$$

dove:

$$E = \pm 1.00 \times E_Y \pm 0.3 \times E_Z$$

avendo indicato con  $E_Y$  e  $E_Z$  rispettivamente le componenti orizzontale e verticale dell'azione sismica.

I coefficienti di amplificazione dei carichi  $\gamma$  e i coefficienti di combinazione  $\psi$  sono riportati nelle tabelle seguenti.

**Tabella 5.2.V** – Coefficienti parziali di sicurezza per le combinazioni di carico agli SLU, eccezionali e sismica (da DM 14/01/2008)

		Coefficiente	EQU <sup>(1)</sup>	A1 STR	A2 GEO	Combinazione eccezionale	Combinazione Sismica
Carichi permanenti	favorevoli	$\gamma_{G1}$	0,90	1,00	1,00	1,00	1,00
	sfavorevoli		1,10	1,35	1,00	1,00	1,00
Carichi permanenti non strutturali <sup>(2)</sup>	favorevoli	$\gamma_{G2}$	0,00	0,00	0,00	1,00	1,00
	sfavorevoli		1,50	1,50	1,30	1,00	1,00
Ballast <sup>(3)</sup>	favorevoli	$\gamma_B$	0,90	1,00	1,00	1,00	1,00
	sfavorevoli		1,50	1,50	1,30	1,00	1,00
Carichi variabili da traffico <sup>(4)</sup>	favorevoli	$\gamma_Q$	0,00	0,00	0,00	0,00	0,00
	sfavorevoli		1,45	1,45	1,25	0,20 <sup>(5)</sup>	0,20 <sup>(5)</sup>
Carichi variabili	favorevoli	$\gamma_{Qi}$	0,00	0,00	0,00	0,00	0,00
	sfavorevoli		1,50	1,50	1,30	1,00	0,00
Precompressione	favorevole	$\gamma_P$	0,90	1,00	1,00	1,00	1,00
	sfavorevole		1,00 <sup>(6)</sup>	1,00 <sup>(7)</sup>	1,00	1,00	1,00

(1) Equilibrio che non coinvolga i parametri di deformabilità e resistenza del terreno; altrimenti si applicano i valori di GEO.

(2) Nel caso in cui i carichi permanenti non strutturali (ad es. carichi permanenti portati) siano compiutamente definiti si potranno adottare gli stessi coefficienti validi per le azioni permanenti.

(3) Quando si prevedano variazioni significative del carico dovuto al ballast, se ne dovrà tener conto esplicitamente nelle verifiche.

(4) Le componenti delle azioni da traffico sono introdotte in combinazione considerando uno dei gruppi di carico gr della Tab. 5.2.IV.

(5) Aliquota di carico da traffico da considerare.

(6) 1,30 per instabilità in strutture con precompressione esterna

(7) 1,20 per effetti locali



Tabella 5.2.VI - Coefficienti di combinazione  $\psi$  delle azioni (da DM 14/01/2008)

Azioni		$\psi_0$	$\psi_1$	$\psi_2$
Azioni singole da traffico	Carico sul rilevato a tergo delle spalle	0,80	0,50	0,0
	Azioni aerodinamiche generate dal transito dei convogli	0,80	0,50	0,0
Gruppi di carico	gr1	0,80 <sup>(2)</sup>	0,80 <sup>(1)</sup>	0,0
	gr2	0,80 <sup>(2)</sup>	0,80 <sup>(1)</sup>	-
	gr3	0,80 <sup>(2)</sup>	0,80 <sup>(1)</sup>	0,0
	gr4	1,00	1,00 <sup>(1)</sup>	0,0
Azioni del vento	F <sub>Wk</sub>	0,60	0,50	0,0
Azioni da neve	in fase di esecuzione	0,80	0,0	0,0
	SLU e SLE	0,0	0,0	0,0
Azioni termiche	T <sub>k</sub>	0,60	0,60	0,50

Nella combinazione sismica le azioni indotte dal traffico ferroviario sono combinate con un coefficiente  $\psi_2 = 0.2$  (punto 3.2.4 del DM 14/01/2008) coerentemente con l'aliquota di massa afferente ai carichi da traffico.

Le azioni descritte nel paragrafo precedente ed utilizzate nelle combinazioni di carico vengono di seguito riassunte:

Tabella 2 – Riepilogo condizioni di carico

Tipo Carico	Abbreviazione
Peso proprio	DEAD
Carichi permanenti	PERM
Falda	FALDA
Spinta terreno sinistra	STS
Spinta terreno destra	STD
Carico Ferroviario Centrato	TRM
Carico Ferroviario Laterale	TRV
Sovraccarico accidentale sinistra	SAS
Sovraccarico accidentale destra	SAD
Traffico Stradale	TRAF
Ritiro	RIT
Variazione termica	$\Delta T$
Avviamento e frenatura	AVV
Azione sismica orizzontale	E <sub>H</sub>
Azione sismica verticale	E <sub>V</sub>

RELAZIONE DI CALCOLO

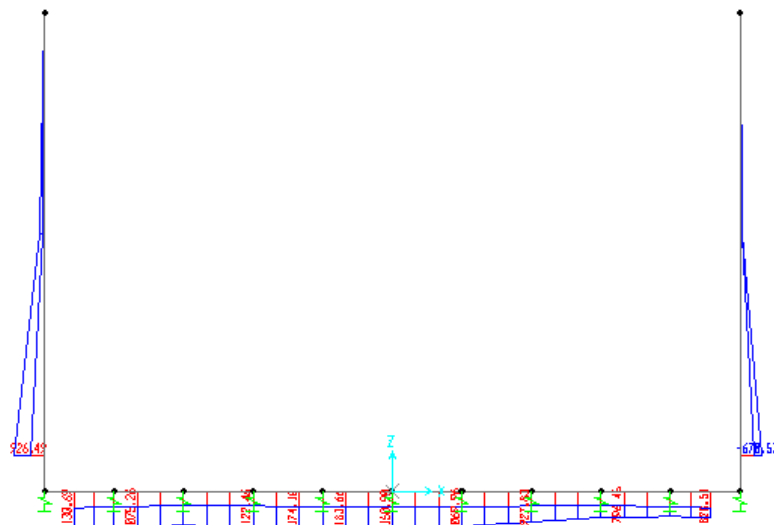
COMMESSA	LOTTO	CODIFICA	DOCUMENTO	REV.	FOGLIO
RS3E	50	D 29 CL	IV01 00 002	A	34 di 54

Si riportano di seguito le combinazioni di carico ritenute più significative con i coefficienti di combinazione  $\gamma \cdot \psi$ . Essendo la struttura simmetrica, si adottano tipologie di combinazione asimmetriche in modo da massimizzare le sollecitazioni. Il dimensionamento delle armature e le verifiche strutturali verranno poi eseguite tenendo conto della simmetria e verificando le condizioni peggiori per ogni lato della struttura.

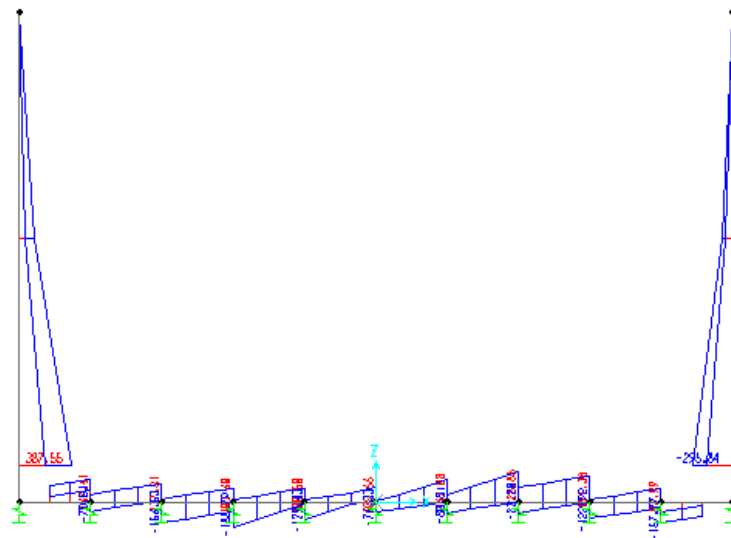
**Tabella 3 - Combinazioni di carico**

COMB	DEAD	STS	STD	RIT	$\Delta T$	PERM	FALDA	TRM	TRV	SAS	SAD	TRAF	AVV	$E_H$	$E_V$
n° 1 SLU-STR	1.35	1.35	1.35	1.20	1.50	1.50	-	-	-	-	-	-	-	-	-
n° 2 SLU-STR	1.35	1.35	1.00	1.20	1.50	1.50	-	-	-	-	-	-	-	-	-
n° 3 SLU-STR	1.35	1.00	1.35	1.20	1.50	1.50	-	-	-	-	-	-	-	-	-
n° 04 SLU-STR	1.35	1.35	1.35	1.20	1.50	1.50	1.35	-	-	-	-	-	-	-	-
n° 05 SLU-STR	1.35	1.35	1.00	1.20	1.50	1.50	1.35	-	-	-	-	-	-	-	-
n° 06 SLU-STR	1.35	1.00	1.35	1.20	1.50	1.50	1.35	-	-	-	-	-	-	-	-
n° 07 SLU-STR	1.35	1.35	1.35	1.20	0.90	1.50	1.35	1.45	-	1.45	1.45	-	1.45	-	-
n° 08 SLU-STR	1.35	1.35	1.00	1.20	0.90	1.50	1.35	1.45	-	1.45	1.45	-	1.45	-	-
n° 09 SLU-STR	1.35	1.00	1.35	1.20	0.90	1.50	1.35	1.45	-	1.45	1.45	-	1.45	-	-
n° 10 SLU-STR	1.35	1.35	1.35	1.20	0.90	1.50	1.35	-	1.45	1.45	1.45	1.01	1.45	-	-
n° 11 SLU-STR	1.35	1.35	1.00	1.20	0.90	1.50	1.35	-	1.45	1.45	1.45	1.01	1.45	-	-
n° 12 SLU-STR	1.35	1.00	1.35	1.20	0.90	1.50	1.35	-	1.45	1.45	1.45	1.01	1.45	-	-
n° 13 SLU-STR	1.35	1.35	1.35	1.20	0.90	1.50	1.35	1.45	-	1.45	-	1.01	1.45	-	-
n° 14 SLU-STR	1.35	1.35	1.00	1.20	0.90	1.50	1.35	1.45	-	1.45	-	1.01	1.45	-	-
n° 15 SLU-STR	1.35	1.00	1.35	1.20	0.90	1.50	1.35	1.45	-	1.45	-	1.01	1.45	-	-
n° 16 SLU - SISMICA	1.00	1.00	1.00	1.00	0.50	1.00	1.00	0.20	-	0.20	-	-	0.20	1.00	0.30
n° 17 SLU - SISMICA	1.00	1.00	1.00	1.00	0.50	1.00	1.00	0.20	-	0.20	-	-	0.20	1.00	-0.30
n° 18 SLU - SISMICA	1.00	1.00	1.00	1.00	0.50	1.00	-	0.20	-	0.20	-	-	0.20	1.00	0.30
n° 19 SLU - SISMICA	1.00	1.00	1.00	1.00	0.50	1.00	-	0.20	-	0.20	-	-	0.20	1.00	-0.30
GEO	1.00	1.30	1.00	1.00	0.60	1.30	1.00	1.25	-	1.25	-	-	1.25	-	-
GEO - SISMICA	1.00	1.00	1.00	1.00	0.50	1.00	1.00	0.20	-	0.20	-	-	0.20	1.00	0.30
SLE - Q.P.	1.00	1.00	1.00	1.00	0.50	1.00	1.00	0.00	-	0.00	-	-	0.00	-	-
SLE - Frequente	1.00	1.00	1.00	1.00	0.50	1.00	1.00	0.80	-	0.80	-	-	0.80	-	-
SLE - Rara	1.00	1.00	1.00	1.00	0.60	1.00	1.00	1.00	-	1.00	-	-	1.00	-	-

## 9 DIAGRAMMI DELLE SOLLECITAZIONI



**Fig. 3 – Involuppo momenti flettenti SLU**



**Fig. 4 – Involuppo sforzi taglienti SLU**

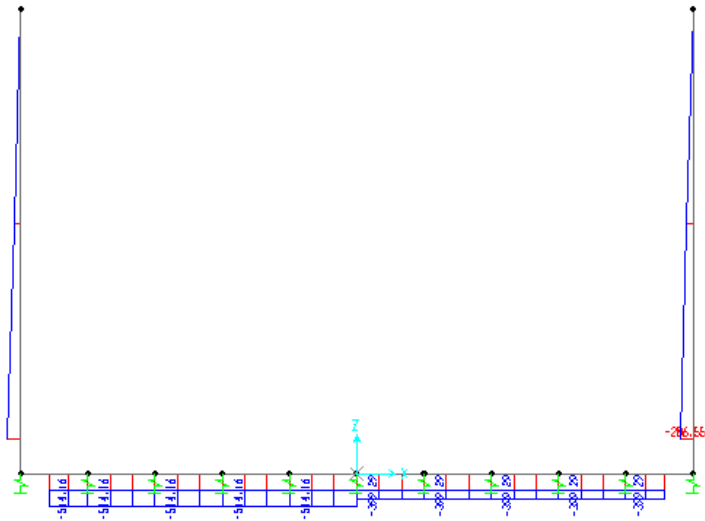


Fig. 5 – Inviluppo azioni assiali SLU

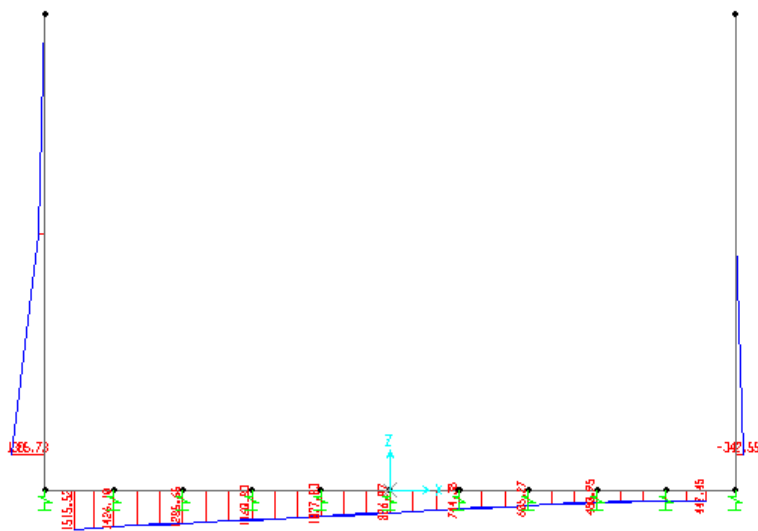


Fig. 6 – Inviluppo momenti flettenti SLV

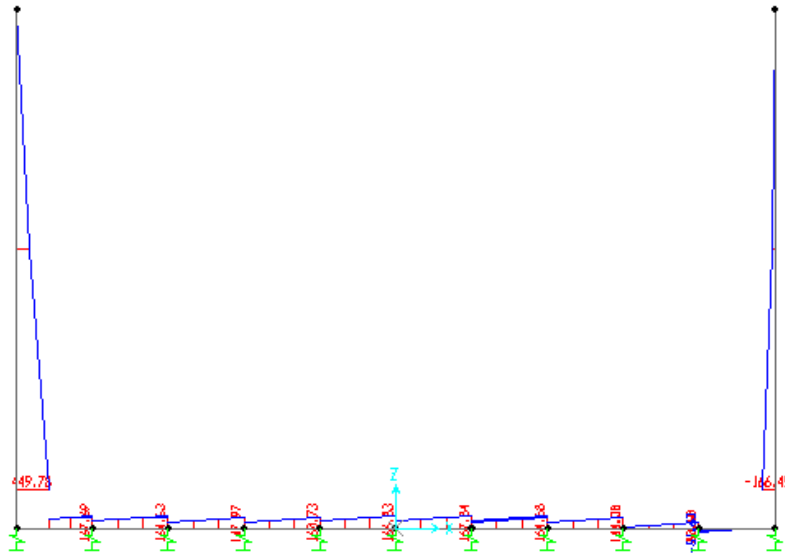


Fig. 7 – Inviluppo sforzi taglienti SLV

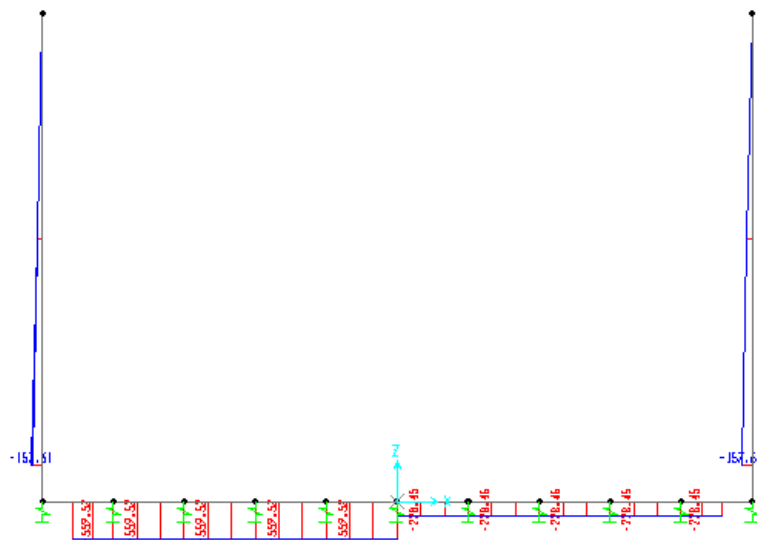


Fig. 8 – Inviluppo azioni assiali SLV



## 10 VERIFICA DELLE SEZIONI IN C.A.

Nelle tabelle seguenti sono indicati i valori delle sollecitazioni massime e i valori delle sollecitazioni per la verifica a fessurazione risultanti dalle combinazioni di cui al capitolo precedente.

Per le verifiche in corrispondenza dei nodi si considerano le sollecitazioni a filo elemento rigido.

SLU STR-SLV				
Elemento strutturale	C.C. $M_{max}$	N (kN)	$M_{max}$ (kNm)	$T_{max}$ (kN)
soletta inferiore	SLU16-SIS	192.00	417.38	226.87
	SLU19-SIS2	584.00	1515.77	-
piedritti	SLU06-STR	206.55	447.05	449.78
	SLU16-SIS	78.81	270.55	175.58
	SLU15-STR	206.55	670.57	295.84
	SLU11-STR	0.00	0.00	73.96

Elemento strutturale	SLE RARA		SLE FREQUENTE			SLE QUASI PERMANENTE		
	N (kN)	$M_{max}$ (kNm)	ID Asta	N (kN)	$M_{max}$ (kNm)	ID Asta	N (kN)	$M_{max}$ (kNm)
soletta inferiore	256.00	519.43		256.00	511.48		259.20	451.06
	272.00	750.68		268.80	682.71		264.00	561.71
piedritti	153.00	546.47	2	153.00	526.58	2	153.00	466.93
	153.00	546.47		153.00	526.58		153.00	466.93
	153.00	447.05	4	-153.00	447.05	4	153.00	447.05
	0.00	0.00		0.00	0.00		0.00	0.00

RELAZIONE DI CALCOLO

COMMESSA	LOTTO	CODIFICA	DOCUMENTO	REV.	FOGLIO
RS3E	50	D 29 CL	IV01 00 002	A	40 di 54

## 10.1 Verifica soletta inferiore

Si adottano spille 9 Ø8/mq

### CARATTERISTICHE DI RESISTENZA DEI MATERIALI IMPIEGATI

CALCESTRUZZO -	Classe:	C30/37	
	Resis. compr. di progetto fcd:	17.000	MPa
	Resis. compr. ridotta fcd':	8.500	MPa
	Def.unit. max resistenza ec2:	0.0020	
	Def.unit. ultima ecu:	0.0035	
	Diagramma tensione-deformaz.:	Parabola-Rettangolo	
	Modulo Elastico Normale Ec:	32836.0	MPa
	Resis. media a trazione fctm:	2.900	MPa
	Coeff. Omogen. S.L.E.:	15.00	
	Coeff. Omogen. S.L.E.:	15.00	
	Sc limite S.L.E. comb. Frequenti:	165.00	daN/cm <sup>2</sup>
	Ap.Fessure limite S.L.E. comb. Frequenti:	0.200	mm
	Sc limite S.L.E. comb. Q.Permanenti:	0.00	Mpa
	Ap.Fess.limite S.L.E. comb. Q.Perm.:	0.200	mm
ACCIAIO -	Tipo:	B450C	
	Resist. caratt. snervam. fyk:	450.00	MPa
	Resist. caratt. rottura ftk:	450.00	MPa
	Resist. snerv. di progetto fyd:	391.30	MPa
	Resist. ultima di progetto ftd:	391.30	MPa
	Deform. ultima di progetto Epu:	0.068	
	Modulo Elastico Ef	2000000	daN/cm <sup>2</sup>
	Diagramma tensione-deformaz.:	Bilineare finito	
	Coeff. Aderenza istantaneo β1*β2 :	1.00	
	Coeff. Aderenza differito β1*β2 :	0.50	
Sf limite S.L.E. Comb. Rare:	337.50	MPa	

### CARATTERISTICHE DOMINIO CONGLOMERATO

Forma del Dominio: Poligonale  
Classe Conglomerato: C30/37

N°vertice:	X [cm]	Y [cm]
1	-50.0	0.0
2	-50.0	110.0
3	50.0	110.0
4	50.0	0.0

### DATI BARRE ISOLATE

N°Barra	X [cm]	Y [cm]	DiamØ[mm]
1	-41.0	9.0	26
2	-41.0	101.0	26
3	41.0	101.0	26
4	41.0	9.0	26

### DATI GENERAZIONI LINEARI DI BARRE

N°Gen. Numero assegnato alla singola generazione lineare di barre  
N°Barra Ini. Numero della barra iniziale cui si riferisce la generazione



RELAZIONE DI CALCOLO

COMMESSA	LOTTO	CODIFICA	DOCUMENTO	REV.	FOGLIO
RS3E	50	D 29 CL	IV01 00 002	A	41 di 54

N°Barra Fin. Numero della barra finale cui si riferisce la generazione  
 N°Barre Numero di barre generate equidistanti cui si riferisce la generazione  
 Ø Diametro in mm delle barre della generazione

N°Gen.	N°Barra Ini.	N°Barra Fin.	N°Barre	Ø
1	1	4	8	26
2	2	3	3	26

**ARMATURE A TAGLIO**

Diametro staffe: 8 mm  
 Passo staffe: 24.9 cm  
 Staffe: Una sola staffa chiusa perimetrale

**CALCOLO DI RESISTENZA - SFORZI PER OGNI COMBINAZIONE ASSEGNATA**

N Sforzo normale [kN] applicato nel Baric. (+ se di compressione)  
 Mx Momento flettente [daNm] intorno all'asse X di riferimento delle coordinate con verso positivo se tale da comprimere il lembo sup. della sez.  
 Vy Componente del Taglio [kN] parallela all'asse Y di riferimento delle coordinate

N°Comb.	N	Mx	Vy
1	192.00	417.38	226.87
2	584.00	1515.77	0.00

**COMB. RARE (S.L.E.) - SFORZI PER OGNI COMBINAZIONE ASSEGNATA**

N Sforzo normale [kN] applicato nel Baricentro (+ se di compressione)  
 Mx Momento flettente [kNm] intorno all'asse X di riferimento (tra parentesi Mom.Fessurazione) con verso positivo se tale da comprimere il lembo superiore della sezione

N°Comb.	N	Mx	My
1	256.00	519.43	0.00
2	272.00	750.68	0.00

**COMB. FREQUENTI (S.L.E.) - SFORZI PER OGNI COMBINAZIONE ASSEGNATA**

N Sforzo normale [kN] applicato nel Baricentro (+ se di compressione)  
 Mx Momento flettente [kNm] intorno all'asse X di riferimento (tra parentesi Mom.Fessurazione) con verso positivo se tale da comprimere il lembo superiore della sezione

N°Comb.	N	Mx	My
1	256.00	511.48 (815.71)	0.00 (0.00)
2	268.80	682.71 (797.49)	0.00 (0.00)

**COMB. QUASI PERMANENTI (S.L.E.) - SFORZI PER OGNI COMBINAZIONE ASSEGNATA**

N Sforzo normale [kN] applicato nel Baricentro (+ se di compressione)  
 Mx Momento flettente [kNm] intorno all'asse X di riferimento (tra parentesi Mom.Fessurazione) con verso positivo se tale da comprimere il lembo superiore della sezione

N°Comb.	N	Mx	My
---------	---	----	----

RELAZIONE DI CALCOLO

COMMESSA	LOTTO	CODIFICA	DOCUMENTO	REV.	FOGLIO
RS3E	50	D 29 CL	IV01 00 002	A	42 di 54

1	259.20	451.06 (828.87)	0.00 (0.00)
2	264.00	561.71 (810.42)	0.00 (0.00)

**RISULTATI DEL CALCOLO**

**Sezione verificata per tutte le combinazioni assegnate**

Copriferro netto minimo barre longitudinali:	7.7 cm
Interferro netto minimo barre longitudinali:	6.5 cm
Copriferro netto minimo staffe:	6.9 cm

**VERIFICHE DI RESISTENZA IN PRESSO-TENSO FLESSIONE ALLO STATO LIMITE ULTIMO**

Ver	S = combinazione verificata / N = combin. non verificata
N	Sforzo normale assegnato [kN] nel baricentro B sezione cls.(positivo se di compressione)
Mx	Componente del momento assegnato [kNm] riferito all'asse x princ. d'inerzia
N Res	Sforzo normale resistente [kN] nel baricentro B sezione cls.(positivo se di compress.)
Mx Res	Momento flettente resistente [kNm] riferito all'asse x princ. d'inerzia
Mis.Sic.	Misura sicurezza = rapporto vettoriale tra (N r,Mx Res,My Res) e (N,Mx,My) Verifica positiva se tale rapporto risulta >=1.000
As Totale	Area totale barre longitudinali [cm <sup>2</sup> ]. [Tra parentesi il valore minimo di normativa]

N°Comb	Ver	N	Mx	N Res	Mx Res	Mis.Sic.	As Totale
1	S	192.00	417.38	192.20	2064.85	4.91	79.6(33.0)
2	S	584.00	1515.77	584.30	2240.05	1.47	79.6(33.0)

**METODO AGLI STATI LIMITE ULTIMI - DEFORMAZIONI UNITARIE ALLO STATO ULTIMO**

ec max	Deform. unit. massima del conglomerato a compressione
Xc max	Ascissa in cm della fibra corrisp. a ec max (sistema rif. X,Y,O sez.)
Yc max	Ordinata in cm della fibra corrisp. a ec max (sistema rif. X,Y,O sez.)
es min	Deform. unit. minima nell'acciaio (negativa se di trazione)
Xs min	Ascissa in cm della barra corrisp. a es min (sistema rif. X,Y,O sez.)
Ys min	Ordinata in cm della barra corrisp. a es min (sistema rif. X,Y,O sez.)
es max	Deform. unit. massima nell'acciaio (positiva se di compress.)
Xs max	Ascissa in cm della barra corrisp. a es max (sistema rif. X,Y,O sez.)
Ys max	Ordinata in cm della barra corrisp. a es max (sistema rif. X,Y,O sez.)

N°Comb	ec max	Xc max	Yc max	es min	Xs min	Ys min	es max	Xs max	Ys max
1	0.00350	-50.0	110.0	0.00100	-41.0	101.0	-0.02451	-41.0	9.0
2	0.00350	-50.0	110.0	0.00130	-41.0	101.0	-0.02118	-41.0	9.0

**POSIZIONE ASSE NEUTRO PER OGNI COMB. DI RESISTENZA**

a, b, c	Coeff. a, b, c nell'eq. dell'asse neutro $aX+bY+c=0$ nel rif. X,Y,O gen.
x/d	Rapp. di duttilità (travi e solette)[§ 4.1.2.1.2.1 NTC]: deve essere < 0.45
C.Rid.	Coeff. di riduz. momenti per sola flessione in travi continue

N°Comb	a	b	c	x/d	C.Rid.
1	0.000000000	0.000277356	-0.027009121	----	----
2	0.000000000	0.000244339	-0.023377264	----	----

**VERIFICHE A TAGLIO**

Diam. Staffe:	8 mm
Passo staffe:	24.9 cm [Passo massimo di normativa = 25.0 cm]

**RELAZIONE DI CALCOLO**

COMMESSA	LOTTO	CODIFICA	DOCUMENTO	REV.	FOGLIO
RS3E	50	D 29 CL	IV01 00 002	A	43 di 54

Ver	S = comb. verificata a taglio / N = comb. non verificata
Ved	Taglio di progetto [kN] = $V_y$ ortogonale all'asse neutro
Vcd	Taglio compressione resistente [kN] lato conglomerato [formula (4.1.28)NTC]
Vwd	Taglio resistente [kN] assorbito dalle staffe [(4.1.18) NTC]
d   z	Altezza utile media pesata sezione ortogonale all'asse neutro   Braccio coppia interna [cm] Vengono prese nella media le strisce con almeno un estremo compresso. I pesi della media sono costituiti dalle stesse lunghezze delle strisce.
bw	Larghezza media resistente a taglio [cm] misurate parallel. all'asse neutro E' data dal rapporto tra l'area delle sopradette strisce resistenti e Dmed.
Ctg	Cotangente dell'angolo di inclinazione dei puntoni di conglomerato
Acw	Coefficiente maggiorativo della resistenza a taglio per compressione
Ast	Area staffe+legature strettam. necessarie a taglio per metro di pil.[cm <sup>2</sup> /m]
A.Eff	Area staffe+legature efficaci nella direzione del taglio di combinaz.[cm <sup>2</sup> /m] Tra parentesi è indicata la quota dell'area relativa alle sole legature. L'area della legatura è ridotta col fattore L/d_max con L=lungh.legat.proietta- ta sulla direz. del taglio e d_max= massima altezza utile nella direz.del taglio.

N°Comb	Ver	Ved	Vcd	Vwd	d   z	bw	Ctg	Acw	Ast	A.Eff
1	S	226.87	2841.27	378.97105.0	96.0	100.0	2.500	1.010	2.4	4.0(0.0)
2	S	0.00	4175.44	150.51104.3	95.3	100.0	1.000	1.031	0.0	4.0(0.0)

**COMBINAZIONI RARE IN ESERCIZIO - MASSIME TENSIONI NORMALI ED APERTURA FESSURE (NTC/EC2)**

Ver	S = comb. verificata/ N = comb. non verificata
Sc max	Massima tensione (positiva se di compressione) nel conglomerato [Mpa]
Xc max, Yc max	Ascissa, Ordinata [cm] del punto corrisp. a Sc max (sistema rif. X,Y,O)
Sf min	Minima tensione (negativa se di trazione) nell'acciaio [Mpa]
Xs min, Ys min	Ascissa, Ordinata [cm] della barra corrisp. a Sf min (sistema rif. X,Y,O)
Ac eff.	Area di calcestruzzo [cm <sup>2</sup> ] in zona tesa considerata aderente alle barre
As eff.	Area barre [cm <sup>2</sup> ] in zona tesa considerate efficaci per l'apertura delle fessure

N°Comb	Ver	Sc max	Xc max	Yc max	Sf min	Xs min	Ys min	Ac eff.	As eff.
1	S	3.33	-50.0	110.0	-86.4	-22.8	9.0	2250	53.1
2	S	4.75	-50.0	110.0	-132.8	-41.0	9.0	2250	53.1

**COMBINAZIONI RARE IN ESERCIZIO - APERTURA FESSURE [§ 7.3.4 EC2]**

Ver.	La sezione viene assunta sempre fessurata anche nel caso in cui la trazione minima del calcestruzzo sia inferiore a $f_{ctm}$ Esito della verifica
e1	Massima deformazione unitaria di trazione nel calcestruzzo (trazione -) valutata in sezione fessurata
e2	Minima deformazione unitaria di trazione nel calcestruzzo (trazione -) valutata in sezione fessurata
k1	= 0.8 per barre ad aderenza migliorata [eq.(7.11)EC2]
kt	= 0.4 per comb. quasi permanenti / = 0.6 per comb.frequenti [cfr. eq.(7.9)EC2]
k2	= 0.5 per flessione; =(e1 + e2)/(2*e1) per trazione eccentrica [eq.(7.13)EC2]
k3	= 3.400 Coeff. in eq.(7.11) come da annessi nazionali
k4	= 0.425 Coeff. in eq.(7.11) come da annessi nazionali
Ø	Diametro [mm] equivalente delle barre tese comprese nell'area efficace Ac eff [eq.(7.11)EC2]
Cf	Copriferro [mm] netto calcolato con riferimento alla barra più tesa
e sm - e cm	Differenza tra le deformazioni medie di acciaio e calcestruzzo [(7.8)EC2 e (C4.1.7)NTC] Tra parentesi: valore minimo = 0.6 Smax / Es [(7.9)EC2 e (C4.1.8)NTC]
sr max	Massima distanza tra le fessure [mm]
wk	Apertura fessure in mm calcolata = sr max*(e_sm - e_cm) [(7.8)EC2 e (C4.1.7)NTC]. Valore limite tra parentesi
Mx fess.	Componente momento di prima fessurazione intorno all'asse X [kNm]
My fess.	Componente momento di prima fessurazione intorno all'asse Y [kNm]

Comb.	Ver	e1	e2	k2	Ø	Cf	e sm - e cm	sr max	wk	Mx fess	My fess
1	S	-0.00049	0	0.500	26.0	77	0.00026 (0.00026)	449	0.116 (0.20)	814.38	0.00
2	S	-0.00075	0	0.500	26.0	77	0.00040 (0.00040)	449	0.179 (0.20)	792.28	0.00

**COMBINAZIONI FREQUENTI IN ESERCIZIO - MASSIME TENSIONI NORMALI ED APERTURA FESSURE (NTC/EC2)**

RELAZIONE DI CALCOLO

COMMESSA	LOTTO	CODIFICA	DOCUMENTO	REV.	FOGLIO
RS3E	50	D 29 CL	IV01 00 002	A	44 di 54

N°Comb	Ver	Sc max	Xc max	Yc max	Sf min	Xs min	Ys min	Ac eff.	As eff.
1	S	3.28	-50.0	110.0	-84.8	4.6	9.0	2250	53.1
2	S	4.33	-50.0	110.0	-119.0	4.6	9.0	2250	53.1

COMBINAZIONI FREQUENTI IN ESERCIZIO - APERTURA FESSURE [§ 7.3.4 EC2]

Comb.	Ver	e1	e2	k2	Ø	Cf	e sm - e cm	sr max	wk	Mx fess	My fess
1	S	-0.00048	0	0.500	26.0	77	0.00025 (0.00025)	449	0.114 (0.20)	815.71	0.00
2	S	-0.00068	0	0.500	26.0	77	0.00036 (0.00036)	449	0.160 (0.20)	797.49	0.00

COMBINAZIONI QUASI PERMANENTI IN ESERCIZIO - MASSIME TENSIONI NORMALI ED APERTURA FESSURE (NTC/EC2)

N°Comb	Ver	Sc max	Xc max	Yc max	Sf min	Xs min	Ys min	Ac eff.	As eff.
1	S	2.91	-50.0	110.0	-72.1	13.7	9.0	2250	53.1
2	S	3.59	-50.0	110.0	-94.5	-13.7	9.0	2250	53.1

COMBINAZIONI QUASI PERMANENTI IN ESERCIZIO - APERTURA FESSURE [§ 7.3.4 EC2]

Comb.	Ver	e1	e2	k2	Ø	Cf	e sm - e cm	sr max	wk	Mx fess	My fess
1	S	-0.00041	0	0.500	26.0	77	0.00022 (0.00022)	449	0.097 (0.20)	828.87	0.00
2	S	-0.00054	0	0.500	26.0	77	0.00028 (0.00028)	449	0.127 (0.20)	810.42	0.00

## 10.2 Verifica piedritti

Si adottano spille 12 Ø8/mq

### CARATTERISTICHE DI RESISTENZA DEI MATERIALI IMPIEGATI

CALCESTRUZZO -	Classe:	C30/37
	Resis. compr. di progetto fcd:	17.000 MPa
	Resis. compr. ridotta fcd':	8.500 MPa
	Def.unit. max resistenza ec2:	0.0020
	Def.unit. ultima ecu:	0.0035
	Diagramma tensione-deformaz.:	Parabola-Rettangolo
	Modulo Elastico Normale Ec:	32836.0 MPa
	Resis. media a trazione fctm:	2.900 MPa
	Coeff. Omogen. S.L.E.:	15.00
	Coeff. Omogen. S.L.E.:	15.00
	Sc limite S.L.E. comb. Frequenti:	165.00 daN/cm <sup>2</sup>
	Ap.Fessure limite S.L.E. comb. Frequenti:	0.200 mm
	Sc limite S.L.E. comb. Q.Permanenti:	0.00 Mpa
Ap.Fess.limite S.L.E. comb. Q.Perm.:	0.200 mm	
ACCIAIO -	Tipo:	B450C
	Resist. caratt. snervam. fyk:	450.00 MPa
	Resist. caratt. rottura ftk:	450.00 MPa
	Resist. snerv. di progetto fyd:	391.30 MPa
	Resist. ultima di progetto ftd:	391.30 MPa
Deform. ultima di progetto Epu:	0.068	

RELAZIONE DI CALCOLO

COMMESSA	LOTTO	CODIFICA	DOCUMENTO	REV.	FOGLIO
RS3E	50	D 29 CL	IV01 00 002	A	45 di 54

Modulo Elastico Ef	2000000	daN/cm <sup>2</sup>
Diagramma tensione-deformaz.:	Bilineare finito	
Coeff. Aderenza istantaneo $\beta_1 \cdot \beta_2$ :	1.00	
Coeff. Aderenza differito $\beta_1 \cdot \beta_2$ :	0.50	
Sf limite S.L.E. Comb. Rare:	337.50	MPa

**CARATTERISTICHE DOMINIO CONGLOMERATO**

Forma del Dominio: Poligonale  
Classe Conglomerato: C30/37

N°vertice:	X [cm]	Y [cm]
1	-50.0	0.0
2	-50.0	90.0
3	50.0	90.0
4	50.0	0.0

**DATI BARRE ISOLATE**

N°Barra	X [cm]	Y [cm]	DiamØ[mm]
1	-41.0	9.0	26
2	-41.0	81.0	26
3	41.0	81.0	26
4	41.0	9.0	26

**DATI GENERAZIONI LINEARI DI BARRE**

N°Gen. Numero assegnato alla singola generazione lineare di barre  
N°Barra Ini. Numero della barra iniziale cui si riferisce la generazione  
N°Barra Fin. Numero della barra finale cui si riferisce la generazione  
N°Barre Numero di barre generate equidistanti cui si riferisce la generazione  
Ø Diametro in mm delle barre della generazione

N°Gen.	N°Barra Ini.	N°Barra Fin.	N°Barre	Ø
1	1	4	8	26
2	2	3	3	26

**ARMATURE A TAGLIO**

Diametro staffe: 8 mm  
Passo staffe: 16.5 cm  
Staffe: Una sola staffa chiusa perimetrale

**CALCOLO DI RESISTENZA - SFORZI PER OGNI COMBINAZIONE ASSEGNATA**

N Sforzo normale [kN] applicato nel Baric. (+ se di compressione)  
Mx Momento flettente [daNm] intorno all'asse X di riferimento delle coordinate con verso positivo se tale da comprimere il lembo sup. della sez.  
Vy Componente del Taglio [kN] parallela all'asse Y di riferimento delle coordinate

N°Comb.	N	Mx	Vy
1	206.55	447.05	449.78
2	78.81	270.55	175.58
3	206.55	670.57	295.84

RELAZIONE DI CALCOLO

COMMESSA	LOTTO	CODIFICA	DOCUMENTO	REV.	FOGLIO
RS3E	50	D 29 CL	IV01 00 002	A	46 di 54

4                    0.00                    0.10                    73.96

**COMB. RARE (S.L.E.) - SFORZI PER OGNI COMBINAZIONE ASSEGNATA**

N                    Sforzo normale [kN] applicato nel Baricentro (+ se di compressione)  
Mx                    Momento flettente [kNm] intorno all'asse X di riferimento (tra parentesi Mom.Fessurazione)  
con verso positivo se tale da comprimere il lembo superiore della sezione

N°Comb.	N	Mx	My
1	153.00	546.47	0.00
2	153.00	546.47	0.00
3	153.00	447.05	0.00

**COMB. FREQUENTI (S.L.E.) - SFORZI PER OGNI COMBINAZIONE ASSEGNATA**

N                    Sforzo normale [kN] applicato nel Baricentro (+ se di compressione)  
Mx                    Momento flettente [kNm] intorno all'asse X di riferimento (tra parentesi Mom.Fessurazione)  
con verso positivo se tale da comprimere il lembo superiore della sezione

N°Comb.	N	Mx	My
1	153.00	526.58 (529.95)	0.00 (0.00)
2	153.00	526.58 (529.95)	0.00 (0.00)
3	-153.00	447.05 (479.98)	0.00 (0.00)

**COMB. QUASI PERMANENTI (S.L.E.) - SFORZI PER OGNI COMBINAZIONE ASSEGNATA**

N                    Sforzo normale [kN] applicato nel Baricentro (+ se di compressione)  
Mx                    Momento flettente [kNm] intorno all'asse X di riferimento (tra parentesi Mom.Fessurazione)  
con verso positivo se tale da comprimere il lembo superiore della sezione

N°Comb.	N	Mx	My
1	153.00	466.93 (533.21)	0.00 (0.00)
2	153.00	466.93 (533.21)	0.00 (0.00)
3	153.00	447.05 (534.50)	0.00 (0.00)

**RISULTATI DEL CALCOLO**

**Sezione verificata per tutte le combinazioni assegnate**

Copriferro netto minimo barre longitudinali:                    7.7 cm  
Interferro netto minimo barre longitudinali:                    6.5 cm  
Copriferro netto minimo staffe:                    6.9 cm

**VERIFICHE DI RESISTENZA IN PRESSO-TENSO FLESSIONE ALLO STATO LIMITE ULTIMO**

Ver                    S = combinazione verificata / N = combin. non verificata  
N                    Sforzo normale assegnato [kN] nel baricentro B sezione cls.(positivo se di compressione)  
Mx                    Componente del momento assegnato [kNm] riferito all'asse x princ. d'inerzia  
N Res                    Sforzo normale resistente [kN] nel baricentro B sezione cls.(positivo se di compress.)  
Mx Res                    Momento flettente resistente [kNm] riferito all'asse x princ. d'inerzia  
Mis.Sic.                    Misura sicurezza = rapporto vettoriale tra (N r,Mx Res,My Res) e (N,Mx,My)  
Verifica positiva se tale rapporto risulta >=1.000  
As Totale                    Area totale barre longitudinali [cm²]. [Tra parentesi il valore minimo di normativa]

N°Comb	Ver	N	Mx	N Res	Mx Res	Mis.Sic.	As Totale
--------	-----	---	----	-------	--------	----------	-----------

RELAZIONE DI CALCOLO

COMMESSA	LOTTO	CODIFICA	DOCUMENTO	REV.	FOGLIO
RS3E	50	D 29 CL	IV01 00 002	A	47 di 54

1	S	206.55	447.05	206.64	1635.21	3.63	79.6(27.0)
2	S	78.81	270.55	78.76	1590.13	5.85	79.6(27.0)
3	S	206.55	670.57	206.64	1635.21	2.43	79.6(27.0)
4	S	0.00	0.10	0.00	1562.12	999.00	79.6(27.0)

**METODO AGLI STATI LIMITE ULTIMI - DEFORMAZIONI UNITARIE ALLO STATO ULTIMO**

ec max	Deform. unit. massima del conglomerato a compressione
Xc max	Deform. unit. massima del conglomerato a compressione
Yc max	Ascissa in cm della fibra corrisp. a ec max (sistema rif. X,Y,O sez.)
es min	Ordinata in cm della fibra corrisp. a ec max (sistema rif. X,Y,O sez.)
Xs min	Deform. unit. minima nell'acciaio (negativa se di trazione)
Ys min	Ascissa in cm della barra corrisp. a es min (sistema rif. X,Y,O sez.)
es max	Ordinata in cm della barra corrisp. a es min (sistema rif. X,Y,O sez.)
Xs max	Deform. unit. massima nell'acciaio (positiva se di compress.)
Ys max	Ascissa in cm della barra corrisp. a es max (sistema rif. X,Y,O sez.)
	Ordinata in cm della barra corrisp. a es max (sistema rif. X,Y,O sez.)

N°Comb	ec max	Xc max	Yc max	es min	Xs min	Ys min	es max	Xs max	Ys max
1	0.00350	-50.0	90.0	0.00102	-41.0	81.0	-0.01886	-41.0	9.0
2	0.00350	-50.0	90.0	0.00091	-41.0	81.0	-0.01981	-41.0	9.0
3	0.00350	-50.0	90.0	0.00102	-41.0	81.0	-0.01886	-41.0	9.0
4	0.00350	-50.0	90.0	0.00084	-41.0	81.0	-0.02043	-41.0	9.0

**POSIZIONE ASSE NEUTRO PER OGNI COMB. DI RESISTENZA**

a, b, c	Coeff. a, b, c nell'eq. dell'asse neutro $aX+bY+c=0$ nel rif. X,Y,O gen.
x/d	Rapp. di duttilità (travi e solette) § 4.1.2.1.2.1 NTC; deve essere < 0.45
C.Rid.	Coeff. di riduz. momenti per sola flessione in travi continue

N°Comb	a	b	c	x/d	C.Rid.
1	0.00000000	0.000276013	-0.021341166	----	----
2	0.00000000	0.000287823	-0.022404083	----	----
3	0.00000000	0.000276013	-0.021341166	----	----
4	0.00000000	0.000295390	-0.023085086	----	----

**VERIFICHE A TAGLIO**

Diam. Staffe: 8 mm  
Passo staffe: 16.5 cm [Passo massimo di normativa = 25.0 cm]

Ver	S = comb. verificata a taglio / N = comb. non verificata
Ved	Taglio di progetto [kN] = $V_y$ ortogonale all'asse neutro
Vcd	Taglio compressione resistente [kN] lato conglomerato [formula (4.1.28)NTC]
Vwd	Taglio resistente [kN] assorbito dalle staffe [(4.1.18) NTC]
d   z	Altezza utile media pesata sezione ortogonale all'asse neutro   Braccio coppia interna [cm] Vengono prese nella media le strisce con almeno un estremo compresso. I pesi della media sono costituiti dalle stesse lunghezze delle strisce.
bw	Larghezza media resistente a taglio [cm] misurate parallel. all'asse neutro E' data dal rapporto tra l'area delle sopradette strisce resistenti e Dmed.
Ctg	Cotangente dell'angolo di inclinazione dei puntoni di conglomerato
Acw	Coefficiente maggiorativo della resistenza a taglio per compressione
Ast	Area staffe+legature strettam. necessarie a taglio per metro di pil.[cm <sup>2</sup> /m]
A.Eff	Area staffe+legature efficaci nella direzione del taglio di combinaz.[cm <sup>2</sup> /m] Tra parentesi è indicata la quota dell'area relativa alle sole legature. L'area della legatura è ridotta col fattore $L/d_{max}$ con $L$ =lungh.legat.proiettata sulla direz. del taglio e $d_{max}$ = massima altezza utile nella direz.del taglio.

N°Comb	Ver	Ved	Vcd	Vwd	d   z	bw	Ctg	Acw	Ast	A.Eff
--------	-----	-----	-----	-----	-------	----	-----	-----	-----	-------

RELAZIONE DI CALCOLO

COMMESSA	LOTTO	CODIFICA	DOCUMENTO	REV.	FOGLIO
RS3E	50	D 29 CL	IV01 00 002	A	48 di 54

1	S	449.78	2255.51	452.55	84.9	75.9	100.0	2.500	1.014	6.1	6.1(0.0)
2	S	175.58	2243.06	453.79	85.1	76.1	100.0	2.500	1.005	2.4	6.1(0.0)
3	S	295.84	2255.51	452.55	84.9	75.9	100.0	2.500	1.014	4.0	6.1(0.0)
4	S	73.96	2235.22	454.53	85.3	76.3	100.0	2.500	1.000	1.0	6.1(0.0)

**COMBINAZIONI RARE IN ESERCIZIO - MASSIME TENSIONI NORMALI ED APERTURA FESSURE (NTC/EC2)**

Ver	S = comb. verificata/ N = comb. non verificata
Sc max	Massima tensione (positiva se di compressione) nel conglomerato [Mpa]
Xc max, Yc max	Ascissa, Ordinata [cm] del punto corrisp. a Sc max (sistema rif. X,Y,O)
Sf min	Minima tensione (negativa se di trazione) nell'acciaio [Mpa]
Xs min, Ys min	Ascissa, Ordinata [cm] della barra corrisp. a Sf min (sistema rif. X,Y,O)
Ac eff.	Area di calcestruzzo [cm <sup>2</sup> ] in zona tesa considerata aderente alle barre
As eff.	Area barre [cm <sup>2</sup> ] in zona tesa considerate efficaci per l'apertura delle fessure

N°Comb	Ver	Sc max	Xc max	Yc max	Sf min	Xs min	Ys min	Ac eff.	As eff.
1	S	4.86	-50.0	90.0	-129.9	-13.7	9.0	2050	53.1
2	S	4.86	-50.0	90.0	-129.9	-13.7	9.0	2050	53.1
3	S	4.00	-50.0	90.0	-103.9	-22.8	9.0	2000	53.1

**COMBINAZIONI RARE IN ESERCIZIO - APERTURA FESSURE [§ 7.3.4 EC2]**

Ver.	La sezione viene assunta sempre fessurata anche nel caso in cui la trazione minima del calcestruzzo sia inferiore a $f_{ctm}$
e1	Esito della verifica
e2	Massima deformazione unitaria di trazione nel calcestruzzo (trazione -) valutata in sezione fessurata
k1	Minima deformazione unitaria di trazione nel calcestruzzo (trazione -) valutata in sezione fessurata
kt	= 0.8 per barre ad aderenza migliorata [eq.(7.11)EC2]
k2	= 0.4 per comb. quasi permanenti / = 0.6 per comb.frequenti [cfr. eq.(7.9)EC2]
k3	= 0.5 per flessione; $= (e1 + e2)/(2 \cdot e1)$ per trazione eccentrica [eq.(7.13)EC2]
k4	= 3.400 Coeff. in eq.(7.11) come da annessi nazionali
Ø	= 0.425 Coeff. in eq.(7.11) come da annessi nazionali
Cf	Diametro [mm] equivalente delle barre tese comprese nell'area efficace Ac eff [eq.(7.11)EC2]
e sm - e cm	Copriferro [mm] netto calcolato con riferimento alla barra più tesa
sr max	Differenza tra le deformazioni medie di acciaio e calcestruzzo [(7.8)EC2 e (C4.1.7)NTC]
wk	Tra parentesi: valore minimo = $0.6 \cdot S_{max} / E_s$ [(7.9)EC2 e (C4.1.8)NTC]
Mx fess.	Massima distanza tra le fessure [mm]
My fess.	Apertura fessure in mm calcolata = $sr \cdot max \cdot (e_{sm} - e_{cm})$ [(7.8)EC2 e (C4.1.7)NTC]. Valore limite tra parentesi
	Componente momento di prima fessurazione intorno all'asse X [kNm]
	Componente momento di prima fessurazione intorno all'asse Y [kNm]

Comb.	Ver	e1	e2	k2	Ø	Cf	e sm - e cm	sr max	wk	Mx fess	My fess
1	S	-0.00076	0	0.500	26.0	77	0.00039 (0.00039)	432	0.168 (0.20)	529.03	0.00
2	S	-0.00076	0	0.500	26.0	77	0.00039 (0.00039)	432	0.168 (0.20)	529.03	0.00
3	S	-0.00061	0	0.500	26.0	77	0.00031 (0.00031)	428	0.134 (0.20)	534.50	0.00

**COMBINAZIONI FREQUENTI IN ESERCIZIO - MASSIME TENSIONI NORMALI ED APERTURA FESSURE (NTC/EC2)**

N°Comb	Ver	Sc max	Xc max	Yc max	Sf min	Xs min	Ys min	Ac eff.	As eff.
1	S	4.69	-50.0	90.0	-124.7	-13.7	9.0	2050	53.1
2	S	4.69	-50.0	90.0	-124.7	-13.7	9.0	2050	53.1
3	S	3.69	-50.0	90.0	-130.3	-41.0	9.0	2200	53.1

**COMBINAZIONI FREQUENTI IN ESERCIZIO - APERTURA FESSURE [§ 7.3.4 EC2]**

Comb.	Ver	e1	e2	k2	Ø	Cf	e sm - e cm	sr max	wk	Mx fess	My fess
1	S	-0.00073	0	0.500	26.0	77	0.00037 (0.00037)	432	0.162 (0.20)	529.95	0.00



RELAZIONE DI CALCOLO

COMMESSA	LOTTO	CODIFICA	DOCUMENTO	REV.	FOGLIO
RS3E	50	D 29 CL	IV01 00 002	A	49 di 54

2	S	-0.00073	0	0.500	26.0	77	0.00037 (0.00037)	432	0.162 (0.20)	529.95	0.00
3	S	-0.00075	0	0.500	26.0	77	0.00039 (0.00039)	445	0.174 (0.20)	479.98	0.00

**COMBINAZIONI QUASI PERMANENTI IN ESERCIZIO - MASSIME TENSIONI NORMALI ED APERTURA FESSURE (NTC/EC2)**

N°Comb	Ver	Sc max	Xc max	Yc max	Sf min	Xs min	Ys min	Ac eff.	As eff.
1	S	4.18	-50.0	90.0	-109.1	-31.9	9.0	2000	53.1
2	S	4.18	-50.0	90.0	-109.1	-31.9	9.0	2000	53.1
3	S	4.00	-50.0	90.0	-103.9	-22.8	9.0	2000	53.1

**COMBINAZIONI QUASI PERMANENTI IN ESERCIZIO - APERTURA FESSURE [§ 7.3.4 EC2]**

Comb.	Ver	e1	e2	k2	Ø	Cf	e sm - e cm sr max	wk	Mx fess	My fess	
1	S	-0.00064	0	0.500	26.0	77	0.00033 (0.00033)	428	0.140 (0.20)	533.21	0.00
2	S	-0.00064	0	0.500	26.0	77	0.00033 (0.00033)	428	0.140 (0.20)	533.21	0.00
3	S	-0.00061	0	0.500	26.0	77	0.00031 (0.00031)	428	0.134 (0.20)	534.50	0.00

**10.2.1 Tabella riepilogativa incidenza ferri**

	Inc. Armature [kg/mc]
Soletta inf.	140
Piedritto	140

(per il quantitativo di armatura secondaria si assume il 20% di quella principale; si aggiunge al quantitativo di armatura principale e secondaria un 15% per sovrapposizioni/legature)

**11 VERIFICHE GEOTECNICHE**

Si riporta di seguito la verifica a carico limite per la combinazione più gravosa:

RELAZIONE DI CALCOLO

COMMESSA	LOTTO	CODIFICA	DOCUMENTO	REV.	FOGLIO
RS3E	50	D 29 CL	IV01 00 002	A	50 di 54

**Fondazioni Dirette**  
**Verifica in tensioni efficaci**

$$q_{lim} = c' \cdot N_c \cdot s_c \cdot d_c \cdot i_c \cdot b_c \cdot g_c + q \cdot N_q \cdot s_q \cdot d_q \cdot i_q \cdot b_q \cdot g_q + 0,5 \cdot \gamma \cdot B \cdot N_{\gamma} \cdot s_{\gamma} \cdot d_{\gamma} \cdot i_{\gamma} \cdot b_{\gamma} \cdot g_{\gamma}$$

D = Profondità del piano di appoggio

$e_B$  = Eccentricità in direzione B ( $e_B = Mb/N$ )

$e_L$  = Eccentricità in direzione L ( $e_L = Ml/N$ ) (per fondazione nastriforme  $e_L = 0$ ;  $L^* = L$ )

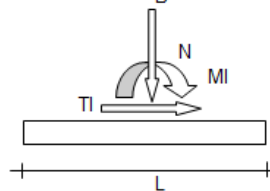
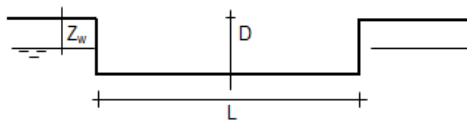
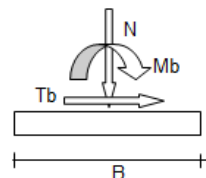
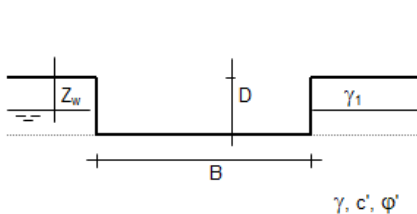
$B^*$  = Larghezza fittizia della fondazione ( $B^* = B - 2 \cdot e_B$ )

$L^*$  = Lunghezza fittizia della fondazione ( $L^* = L - 2 \cdot e_L$ )

(per fondazione nastriforme le sollecitazioni agenti sono riferite all'unità di lunghezza)

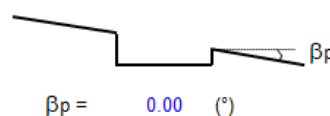
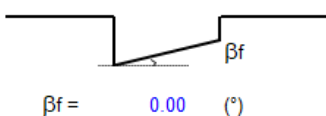
**coefficienti parziali**

Metodo di calcolo	azioni		proprietà del terreno		resistenze			
	permanenti	temporanee variabili	$\tan \varphi'$	$c'$	$q_{lim}$	scorr		
Stato Limite Ultimo	A1+M1+R1	○	1.30	1.50	1.00	1.00	1.00	
	A2+M2+R2	○	1.00	1.30	1.25	1.25	1.80	1.00
	SISMA	○	1.00	1.00	1.25	1.25	1.80	1.00
	A1+M1+R3	○	1.30	1.50	1.00	1.00	2.30	1.10
	SISMA	○	1.00	1.00	1.00	1.00	2.30	1.10
Tensioni Ammissibili	○	1.00	1.00	1.00	1.00	3.00	3.00	
Definiti dal Progettista	●	1.00	1.00	1.00	1.00	2.30	1.10	



(Per fondazione nastriforme L = 100 m)

B = 11.60 (m)  
L = 1.00 (m)  
D = 6.00 (m)



RELAZIONE DI CALCOLO

COMMESSA	LOTTO	CODIFICA	DOCUMENTO	REV.	FOGLIO
RS3E	50	D 29 CL	IV01 00 002	A	51 di 54

**AZIONI**

	valori di input		Valori di calcolo
	permanenti	temporanee	
N [kN]	1618.00		1618.00
Mb [kNm]	451.00		451.00
MI [kNm]	0.00		0.00
Tb [kN]	128.00		128.00
TI [kN]	182.00		182.00
H [kN]	222.50	0.00	222.50

*Peso unità di volume del terreno*

$$\begin{aligned} \gamma_1 &= 19.00 \quad (\text{kN/mc}) \\ \gamma &= 19.00 \quad (\text{kN/mc}) \end{aligned}$$

*Valori caratteristici di resistenza del terreno*

$$\begin{aligned} c' &= 5.00 \quad (\text{kN/mq}) \\ \varphi' &= 25.00 \quad (^\circ) \end{aligned}$$

*Valori di progetto*

$$\begin{aligned} c' &= 5.00 \quad (\text{kN/mq}) \\ \varphi' &= 25.00 \quad (^\circ) \end{aligned}$$

*Profondità della falda*

$$Z_w = 6.00 \quad (\text{m})$$

$$\begin{aligned} e_B &= 0.28 \quad (\text{m}) \\ e_L &= 0.00 \quad (\text{m}) \end{aligned}$$

$$\begin{aligned} B^* &= 11.04 \quad (\text{m}) \\ L^* &= 1.00 \quad (\text{m}) \end{aligned}$$

**q : sovraccarico alla profondità D**

$$q = 114.00 \quad (\text{kN/mq})$$

**$\gamma$  : peso di volume del terreno di fondazione**

$$\gamma = 9.00 \quad (\text{kN/mc})$$

**$N_c, N_q, N_\gamma$  : coefficienti di capacità portante**

$$N_q = \tan^2(45 + \varphi'/2) \cdot e^{(\pi \cdot \tan \varphi')}$$

$$N_q = 10.66$$

$$N_c = (N_q - 1) \cdot \tan \varphi'$$

$$N_c = 20.72$$

$$N_\gamma = 2 \cdot (N_q + 1) \cdot \tan \varphi'$$

$$N_\gamma = 10.88$$

RELAZIONE DI CALCOLO

COMMESSA	LOTTO	CODIFICA	DOCUMENTO	REV.	FOGLIO
RS3E	50	D 29 CL	IV01 00 002	A	52 di 54

$s_c, s_q, s_\gamma$  : **fattori di forma**

$$s_c = 1 + B^* N_q / (L^* N_c)$$

$$s_c = 1.05$$

$$s_q = 1 + B^* \tan \varphi' / L^*$$

$$s_q = 1.04$$

$$s_\gamma = 1 - 0,4 B^* / L^*$$

$$s_\gamma = 0.96$$

$i_c, i_q, i_\gamma$  : **fattori di inclinazione del carico**

$$m_b = (2 + B^* / L^*) / (1 + B^* / L^*) = 1.92$$

$$\theta = \arctg(T_b/T_l) = 35.12 \quad (^\circ)$$

$$m_l = (2 + L^* / B^*) / (1 + L^* / B^*) = 1.08$$

$$m = 1.36 \quad (-)$$

$$i_q = (1 - H/(N + B^* L^* c' \cotg \varphi'))^m$$

( $m=2$  nel caso di fondazione nastriforme e  
 $m=(m_b \sin^2 \theta + m_l \cos^2 \theta)$  in tutti gli altri casi)

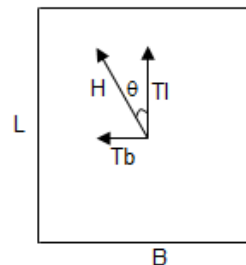
$$i_q = 0.83$$

$$i_c = i_q - (1 - i_q)/(N_q - 1)$$

$$i_c = 0.81$$

$$i_\gamma = (1 - H/(N + B^* L^* c' \cotg \varphi'))^{(m+1)}$$

$$i_\gamma = 0.72$$



$d_c, d_q, d_\gamma$  : **fattori di profondità del piano di appoggio**

$$\text{per } D/B^* \leq 1; d_q = 1 + 2 D \tan \varphi' (1 - \sin \varphi')^2 / B^*$$

$$\text{per } D/B^* > 1; d_q = 1 + (2 \tan \varphi' (1 - \sin \varphi')^2) * \arctan (D / B^*)$$

$$d_q = 1.44$$

$$d_c = d_q - (1 - d_q) / (N_c \tan \varphi')$$

$$d_c = 1.48$$

$$d_\gamma = 1$$

$$d_\gamma = 1.00$$

RELAZIONE DI CALCOLO

COMMESSA	LOTTO	CODIFICA	DOCUMENTO	REV.	FOGLIO
RS3E	50	D 29 CL	IV01 00 002	A	53 di 54

**$b_c, b_q, b_\gamma$  : fattori di inclinazione base della fondazione**

$$b_q = (1 - \beta_f \tan \varphi')^2 \quad \beta_f + \beta_p = 0.00 \quad \beta_f + \beta_p < 45^\circ$$

$$b_q = 1.00$$

$$b_c = b_q - (1 - b_q) / (N_c \tan \varphi')$$

$$b_c = 1.00$$

$$b_\gamma = b_q$$

$$b_\gamma = 1.00$$

**$g_c, g_q, g_\gamma$  : fattori di inclinazione piano di campagna**

$$g_q = (1 - \tan \beta_p)^2 \quad \beta_f + \beta_p = 0.00 \quad \beta_f + \beta_p < 45^\circ$$

$$g_q = 1.00$$

$$g_c = g_q - (1 - g_q) / (N_c \tan \varphi')$$

$$g_c = 1.00$$

$$g_\gamma = g_q$$

$$g_\gamma = 1.00$$

**Carico limite unitario**

$$q_{lim} = 1675.62 \quad (\text{kN/m}^2)$$

**Pressione massima agente**

$$q = N / B^* L^*$$

$$q = 146.52 \quad (\text{kN/m}^2)$$

**Verifica di sicurezza capacità portante**

$$q_{lim} / \gamma_R = 728.53 \geq q = 146.52 \quad (\text{kN/m}^2)$$

RELAZIONE DI CALCOLO

COMMESSA	LOTTO	CODIFICA	DOCUMENTO	REV.	FOGLIO
RS3E	50	D 29 CL	IV01 00 002	A	54 di 54

VERIFICA A SCORRIMENTO

Carico agente

$$Hd = 222.50 \quad (\text{kN})$$

Azione Resistente

$$Sd = N \tan(\varphi) + c' B^* L^*$$

$$Sd = 809.70 \quad (\text{kN})$$

Verifica di sicurezza allo scorrimento

$$Sd / \gamma_R = 736.09 \geq Hd = 222.50 \quad (\text{kN})$$

### 11.1 Valutazione dei cedimenti

La pressione netta agente per la combinazione rara risulta pari ad 0.0 kPa (peso del terreno rimosso maggiore del carico agente). Il cedimento risultante è nullo.